

# Grundbegriffe der Theoretischen Informatik


Sommersemester 2018 - Thomas Schwentick

Teil D: Komplexitätstheorie

19: NP-vollständige Probleme

Version von: 10. Juli 2018 (13:01)

## Ein erstes NP-vollständiges Problem

- In Teil C der Vorlesung haben wir für die Sprache TM-DIAG die Unentscheidbarkeit durch Diagonalisierung bewiesen und dann alle weiteren unentscheidbaren Probleme durch (direkte oder indirekte) Reduktionen von TM-DIAG gewonnen
  - Hinsichtlich **NP**-vollständiger Probleme gehen wir ähnlich vor
- 
- Wir zeigen als nächstes, dass das Problem SAT **NP**-vollständig ist  Satz von Cook
  - Für weitere Probleme weisen wir die **NP**-Vollständigkeit dann durch (direkte oder indirekte) polynomielle Reduktionen von SAT nach

# Inhalt

## ▷ 19.1 Der Satz von Cook

19.2 Polynomielle Reduktionen

19.3 3-SAT

19.4 Das Cliques-Problem

19.5 3-Färbbarkeit

19.6 Hamiltonkreise und TSP

19.7 Teilsummen und das Rucksack-Problem

# Satz von Cook (1/14)

## Satz 19.1 [Cook 71]

SAT ist **NP**-vollständig

### Beweisskizze

- SAT  $\in$  **NP**: ✓
- SAT ist **NP**-schwierig:
  - Wir zeigen, dass für jedes  $L \in \mathbf{NP}$  gilt:  $L \leq_p \text{SAT}$
- Sei  $L$  dazu eine beliebige Sprache aus **NP**
- Sei  $M = (Q, \Gamma, \delta, q_1)$  eine (1-String)-TM, die  $L$  mit polynomieller Zeitschranke  $n^k$  nichtdeterministisch entscheidet
- Sei  $w$  eine Eingabe für  $M$  und  $n$  die Länge von  $w$

### Beweisskizze (Forts.)

- Wir zeigen, wie aus  $w$  eine KNF-Formel  $\varphi$  konstruiert werden kann, so dass gilt:  
 $M$  akzeptiert  $w$  nichtdeterministisch  $\iff \varphi$  ist erfüllbar
- Genauer: wir zeigen, dass es zu jeder Zusatzeingabe  $y$ , für die  $w$  von  $M$  akzeptiert wird, eine erfüllende Belegung  $\alpha$  für  $\varphi$  gibt, und umgekehrt
- **Wichtige Idee:**
  - Wir betrachten die Berechnung von  $M$  bei Eingabe  $w$  als eine *Berechnungstabelle*
    - \* Die Variablen von  $\varphi$  entsprechen den einzelnen Einträgen der Tabelle
    - \* Jede Variablenbelegung  $\alpha$  der Variablen von  $\varphi$  entspricht einer „ausgefüllten“ Tabelle
  - $\varphi$  soll genau dann wahr werden, wenn  $\alpha$  eine akzeptierende Berechnung repräsentiert

## Satz von Cook (2/14): Beispiel-TM

### Beispiel

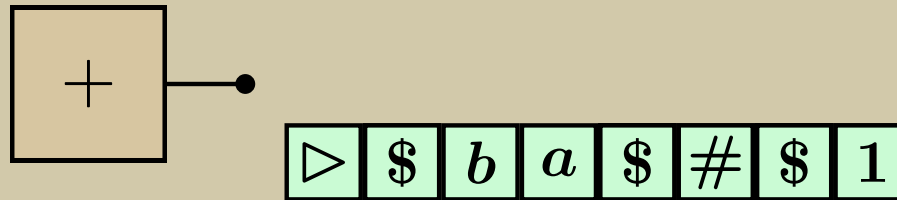
- Wie betrachten als Beispiel eine TM  $M$ , die die Sprache  $L$  aller Strings über  $\{a, b\}$ , die *kein Palindrom* sind, akzeptiert
- $M$  erwartet Eingaben der Art  $w\#y$ 
  - $w$  ist der zu überprüfende String  $\text{☞ } n \stackrel{\text{def}}{=} |w|$
  - $y$  ist eine Zusatzeingabe der Art  $0^k 1$
- $M$  akzeptiert genau dann, wenn die  $(k+1)$ -te Position von  $w$  von der  $(n-k)$ -ten Position verschieden ist

### Bemerkung

- $L$  ist in **NP**, aber natürlich auch in **P**
- Wir verwenden ein so einfaches Beispiel, weil es sich detailliert auf einer Folie unterbringen lässt

# Satz von Cook (3/14): Beispiel-Berechnung

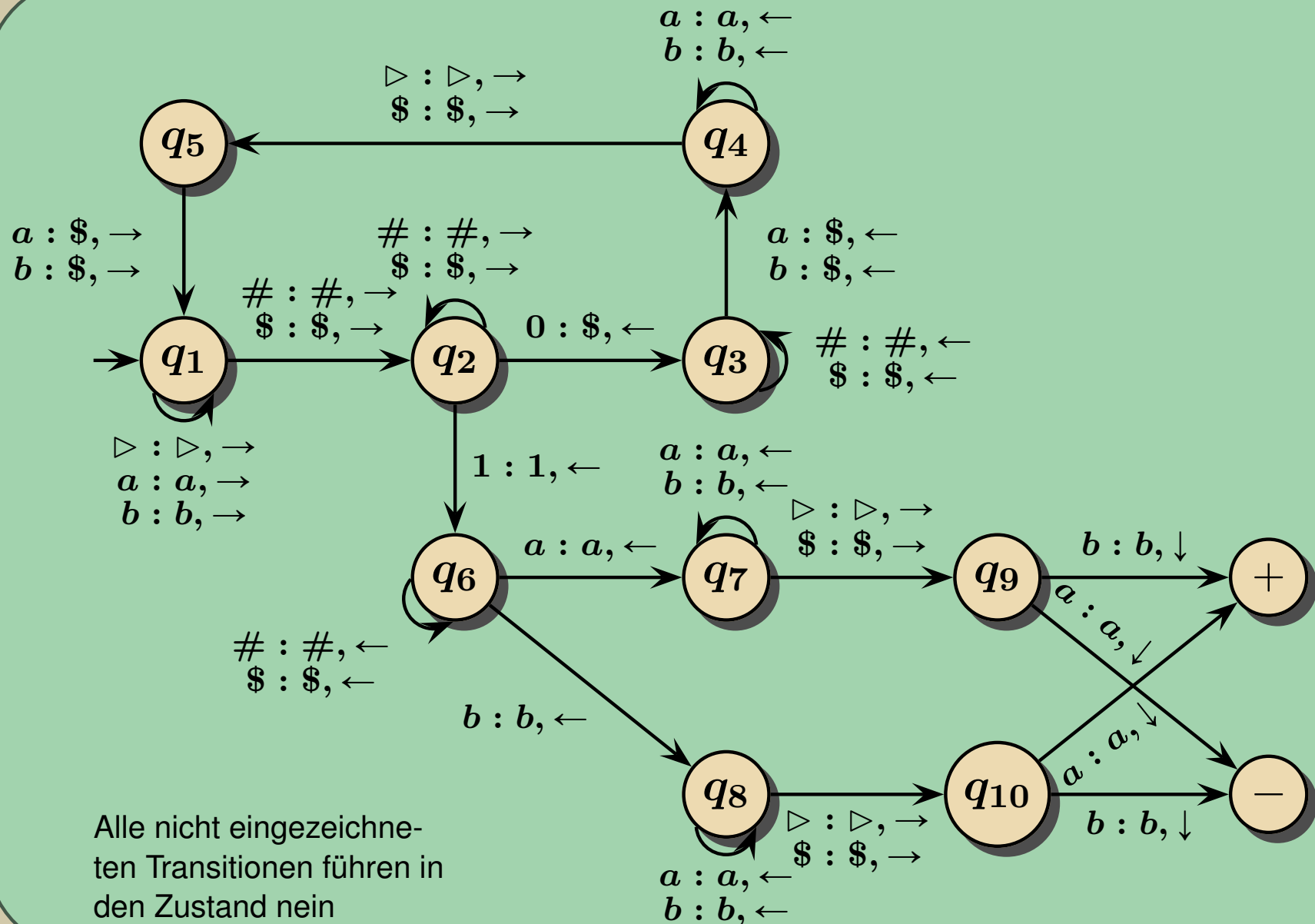
## Beispiel



- $M$  erwartet Eingaben der Art  $w\#y$
- $M$  bewegt den Kopf zuerst nach rechts auf das erste Zeichen von  $y$
- Falls dort eine 0 steht, wird sie durch \$ überschrieben und  $M$  läuft nach links und überschreibt dabei das letzte und dann das erste Zeichen von  $w$  mit \$
- Dann läuft  $M$  wieder nach rechts zum nächsten Zeichen von  $y$
- Wenn dort eine 0 steht, werden wieder das letzte und erste noch nicht veränderte Zeichen von  $w$  mit \$ überschrieben
- Wenn dort eine 1 steht, werden das letzte und erste noch nicht veränderte Zeichen von  $w$  verglichen
- Sind diese beiden Zeichen verschieden, so akzeptiert  $M$ , andernfalls lehnt  $M$  ab

# Satz von Cook (4/14): Beispiel-TM als Diagramm

## Beispiel



# Satz von Cook (5/14): Beispiel einer Berechnungstabelle

Beispiel: Tabelle für TM-Beispiel

$t$	$B$	$Z$	$P$
0	$\triangleright abaa\#01$	$q_1$	0
1	$\triangleright abaa\#01$	$q_1$	1
2	$\triangleright abaa\#01$	$q_1$	2
3	$\triangleright abaa\#01$	$q_1$	3
4	$\triangleright abaa\#01$	$q_1$	4
5	$\triangleright abaa\#01$	$q_1$	5
6	$\triangleright abaa\#01$	$q_2$	6
7	$\triangleright abaa\#\$1$	$q_3$	5
8	$\triangleright abaa\#\$1$	$q_3$	4
9	$\triangleright aba\$\#\$1$	$q_4$	3
10	$\triangleright aba\$\#\$1$	$q_4$	2
11	$\triangleright aba\$\#\$1$	$q_4$	1
12	$\triangleright aba\$\#\$1$	$q_4$	0
13	$\triangleright aba\$\#\$1$	$q_5$	1

Beispiel (Forts.)

$t$	$B$	$Z$	$P$
14	$\triangleright \$ba\$\#\$1$	$q_1$	2
15	$\triangleright \$ba\$\#\$1$	$q_1$	3
16	$\triangleright \$ba\$\#\$1$	$q_1$	4
17	$\triangleright \$ba\$\#\$1$	$q_2$	5
18	$\triangleright \$ba\$\#\$1$	$q_2$	6
19	$\triangleright \$ba\$\#\$1$	$q_2$	7
20	$\triangleright \$ba\$\#\$1$	$q_6$	6
21	$\triangleright \$ba\$\#\$1$	$q_6$	5
22	$\triangleright \$ba\$\#\$1$	$q_6$	4
23	$\triangleright \$ba\$\#\$1$	$q_6$	3
24	$\triangleright \$ba\$\#\$1$	$q_7$	2
25	$\triangleright \$ba\$\#\$1$	$q_7$	1
26	$\triangleright \$ba\$\#\$1$	$q_9$	2
27	$\triangleright \$ba\$\#\$1$	ja	2



# Satz von Cook (6/14): Positionen in der Berechnungstabelle

## Beweisskizze (Forts.)

- Zur Vereinfachung nehmen wir oBdA an, dass die Zusatzeingabe genau die Länge  $n^k - n - 1$  hat und nur die Zeichen **0** und **1** verwendet
- Es gilt also:
  - $w\#y$  hat genau  $n^k$  Zeichen
  - Linker Rand: Position **0**
  - $w$ : Positionen  $1, \dots, n$
  - $\#$  an Position  $n + 1$
  - $y$ : Positionen  $n + 2, \dots, n^k$
- Klar: in  $n^k$  Schritten kann sich der Kopf der Turing-Maschine nicht über  $y$  hinaus bewegen
- Sei  $\Gamma = \{\sigma_1, \dots, \sigma_l\}$  das Arbeitsalphabet von  $M$
- Sei  $Q = \{q_1, \dots, q_m\}$  die Zustandsmenge von  $M$  inklusive ja, nein und  $h$

# Satz von Cook (7/14): Variablen von $\varphi$

## Beweisskizze (Forts.)

- Die Formel  $\varphi$  verwendet die folgenden aussagenlogischen Variablen:


Variablen Indizes		Intendierte Bedeutung
$Z_{t,q}$	$t = 0, \dots, n^k$ $q \in Q$	$\alpha(Z_{t,q}) = 1 \iff$ nach $t$ Schritten be- findet sich $M$ im Zustand $q$
$P_{t,i}$	$t = 0, \dots, n^k$ $i = 0, \dots, n^k$	$\alpha(P_{t,i}) = 1 \iff$ nach $t$ Schritten befin- det sich der Kopf von $M$ auf Position $i$
$B_{t,i,\sigma}$	$t = 0, \dots, n^k$ $i = 0, \dots, n^k$ $\sigma \in \Gamma$	$\alpha(B_{t,i,\sigma}) = 1$ $\iff$ nach $t$ Schritten befin- det sich auf Position $i$ das Zeichen $\sigma$

# Satz von Cook (8/14): Belegung der Variablen

## Beispiel

- Wir werfen einen Blick auf die Variablenbelegung  $\alpha$ , die der Berechnungstabelle der Beispielberechnung entspricht
- Wir betrachten nur die Variablen, die die Konfiguration der TM nach 10 Schritten repräsentieren:
  - $t = 10, Z = q_4, P = 2$
  - $B = \triangleright aba\$ \# \$ 1$

## Bemerkung

-  Im Gegensatz zur Konstruktion im Beweis ist die Länge der Eingabe im Beispiel nicht gleich der Anzahl der Berechnungsschritte
- Deshalb werden hier, der allgemeinen Semantik von TMs entsprechend, hinter der Eingabe Blanks ergänzt

## Beispiel (Forts.)

- $\alpha(Z_{10,q_4}) = 1$
- $\alpha(Z_{10,p}) = 0$ , für  $p \neq q_4$
- $\alpha(P_{10,2}) = 1$
- $\alpha(P_{10,i}) = 0$ , für  $i \neq 2$
- $\alpha(B_{10,0,\triangleright}) = 1$
- $\alpha(B_{10,1,a}) = 1$
- $\alpha(B_{10,2,b}) = 1$
- $\alpha(B_{10,3,a}) = 1$
- $\alpha(B_{10,4,\$}) = 1$
- $\alpha(B_{10,5,\#}) = 1$
- $\alpha(B_{10,6,\$}) = 1$
- $\alpha(B_{10,7,1}) = 1$
- $\alpha(B_{10,i,\sqcup}) = 1$ , für alle  $i > 7$
- $\alpha(B_{10,i,\sigma}) = 0$ , für alle übrigen  $i, \sigma$

# Satz von Cook (9/14): Konsistenzbedingungen

## Beweisskizze (Forts.)

- $\varphi$  ist aus mehreren Teilformeln zusammengesetzt:

$$\varphi = \varphi_K \wedge \varphi_A \wedge \varphi_D \wedge \varphi_E$$

- $\varphi_K$  soll sicherstellen, dass  $\alpha$  überhaupt eine Tabelle repräsentiert, also jeder Eintrag der Tabelle genau einmal vorhanden ist

☞ Konsistenzbedingungen

- $\varphi_A$  drückt aus, dass die erste Zeile der Tabelle der Startkonfiguration entspricht

☞ Anfangsbedingungen

- $\varphi_D$  drückt aus, dass aufeinander folgende Zeilen der Tabelle mit der Transitionsfunktion verträglich sind

☞ Transitionsbedingungen

- $\varphi_E$  drückt aus, dass die Berechnung akzeptiert

☞ Endbedingung

# Satz von Cook (10/14): Konsistenzbedingungen

## Beweisskizze (Forts.)

- $\varphi_K$  drückt für die von  $\alpha$  kodierte Tabelle aus:
  - Zu jedem Zeitpunkt ist der Zustand von  $M$  eindeutig
  - Zu jedem Zeitpunkt ist die Position des Kopfes von  $M$  eindeutig bestimmt
  - Zu jedem Zeitpunkt steht an jeder Stringposition genau ein Zeichen

## Beweisskizze (Forts.)

- Wir verwenden dabei die Hilfsformel

$$\psi_{\text{unique}}(x_1, \dots, x_s) \stackrel{\text{def}}{=} \left( \bigvee_{i=1}^s x_i \right) \wedge \left( \bigwedge_{i \neq j} (\neg x_i \vee \neg x_j) \right),$$

die wahr wird, wenn  $\alpha(x_i) = 1$ , für genau ein  $i$

- $\varphi_K \stackrel{\text{def}}{=} \bigwedge_t \psi_{\text{unique}}(Z_{t,q_1}, \dots, Z_{t,q_m}) \wedge \bigwedge_t \psi_{\text{unique}}(P_{t,0}, \dots, P_{t,n^k}) \wedge \bigwedge_{t,i} \psi_{\text{unique}}(B_{t,i,\sigma_1}, \dots, B_{t,i,\sigma_l})$

# Satz von Cook (11/14): Anfangsbedingungen

## Beweisskizze (Forts.)

- $\varphi_A$  beschreibt die Situation von  $M$  zum Zeitpunkt 0:

- $\varphi_A \stackrel{\text{def}}{=}$

$$Z_{0,q_1} \wedge P_{0,0} \wedge B_{0,0,\triangleright} \wedge \bigwedge_{i=1}^n B_{0,i,w[i]} \\ \wedge B_{0,n+1,\#} \wedge \bigwedge_{i=n+2}^{n^k} (B_{0,i,0} \vee B_{0,i,1})$$

- Zu beachten:
  - Die Formel drückt unter anderem aus, dass die Zusatzeingabe nur aus Nullen und Einsen besteht
  - Die Formel legt die Eingabe  $w$  fest
    - \* Dies ist die einzige Teilformel von  $\varphi$ , die wirklich von  $w$  abhängt
    - \* Die anderen Teilformeln hängen allenfalls von der Länge  $n$  von  $w$  ab
  - Die Formel legt *nicht* die Zusatzeingabe  $y$  fest

# Satz von Cook (12/14): Transitionsbedingungen

## Beweisskizze (Forts.)

- $\varphi_D$  beschreibt die Beziehung zwischen den aufeinander folgenden Konfigurationen

- $\varphi_D \stackrel{\text{def}}{=} \varphi_{D_1} \wedge \varphi_{D_2}$ , wobei:
  - $\varphi_{D_1}$  beschreibt, was sich an der Stelle, an der sich der Kopf der Turing-Maschine befindet, ändert

- $\varphi_{D_1} \stackrel{\text{def}}{=} \bigwedge_{t,i,p,\sigma} [(Z_{t,p} \wedge P_{t,i} \wedge B_{t,i,\sigma}) \rightarrow (Z_{t+1,q} \wedge P_{t+1,i+d} \wedge B_{t+1,i,\tau})]$

- Dabei sind  $q, \tau, d$  jeweils durch  $\delta(p, \sigma) = (q, \tau, d)$  gegeben
  - $d$  wird hier als Zahl in  $\{-1, 0, 1\}$  interpretiert ( $\leftarrow \equiv -1, \downarrow \equiv 0, \rightarrow \equiv 1$ )

  $\varphi_{D_1}$  ist die einzige Teilformel von  $\varphi$ , die von der Transitionsfunktion  $\delta$  abhängt

## Beispiel

- Die Formel  $\varphi_{D_1}$  ist zu lang, um sie für das Beispiel ganz anzugeben
- Deshalb hier nur ein kleiner Ausschnitt für  $t = 8, i = 3, p = q_7$
- Es gilt in der TM
  - $\delta(q_7, a) = (q_7, a, \leftarrow)$
  - $\delta(q_7, b) = (q_7, b, \leftarrow)$
  - $\delta(q_7, \$) = (q_9, \$, \rightarrow)$

- Die entsprechende Teilformel lautet dann:
 
$$[(Z_{8,q_7} \wedge P_{8,3} \wedge B_{8,3,a}) \rightarrow (Z_{9,q_7} \wedge P_{9,2} \wedge B_{9,3,a})] \wedge [(Z_{8,q_7} \wedge P_{8,3} \wedge B_{8,3,b}) \rightarrow (Z_{9,q_7} \wedge P_{9,2} \wedge B_{9,3,b})] \wedge [(Z_{8,q_7} \wedge P_{8,3} \wedge B_{8,3,\$}) \rightarrow (Z_{9,q_9} \wedge P_{9,4} \wedge B_{9,3,\$})]$$

# Satz von Cook (13/14): Transitionsbedingungen (Forts.)

## Beweisskizze (Forts.)

- Die Teilformeln  

$$[(Z_{t,p} \wedge P_{t,i} \wedge B_{t,i,\sigma}) \rightarrow (Z_{t+1,q} \wedge P_{t+1,i+d} \wedge B_{t+1,i,\tau})]$$
 von  $\varphi_{D_1}$  sind noch nicht in KNF, lassen sich aber äquivalent umformen:
 
$$(\neg Z_{t,p} \vee \neg P_{t,i} \vee \neg B_{t,i,\sigma} \vee Z_{t+1,q}) \wedge (\neg Z_{t,p} \vee \neg P_{t,i} \vee \neg B_{t,i,\sigma} \vee P_{t+1,i+d}) \wedge (\neg Z_{t,p} \vee \neg P_{t,i} \vee \neg B_{t,i,\sigma} \vee B_{t+1,i,\tau})$$
- Ein technisches Detail: Was ist, wenn  $M$  weniger als  $n^k$  Schritte macht?
  - Dann wird in der Berechnungstabelle die Endkonfiguration ab der entsprechenden Zeile immer wiederholt
  - Die Formel wird analog gebildet (als wäre  $\delta(\text{ja}, \sigma) = (\text{ja}, \sigma, \downarrow)$ )

## Beweisskizze (Forts.)

- $\varphi_{D_2}$  drückt aus, dass sich der String an allen übrigen Positionen nicht verändert:
- $$\varphi_{D_2} \stackrel{\text{def}}{=} \bigwedge_{t,i,\sigma} ((\neg P_{t,i} \wedge B_{t,i,\sigma}) \rightarrow B_{t+1,i,\sigma})$$
- In konjunktiver Normalform:
 
$$\varphi_{D_2} \stackrel{\text{def}}{=} \bigwedge_{t,i,\sigma} (P_{t,i} \vee \neg B_{t,i,\sigma} \vee B_{t+1,i,\sigma})$$

## Beispiel

- Für  $t = 8$  und  $i = 3$  ergibt sich also:
 
$$(P_{8,3} \vee \neg B_{8,3,a} \vee B_{9,3,a}) \wedge (P_{8,3} \vee \neg B_{8,3,b} \vee B_{9,3,b}) \wedge \dots \wedge (P_{8,3} \vee \neg B_{8,3,\$} \vee B_{9,3,\$}) \wedge (P_{8,3} \vee \neg B_{8,3,\triangleright} \vee B_{9,3,\triangleright})$$




# Satz von Cook (14/14): Abschluss des Beweises

## Beweisskizze (Forts.)

- Endbedingung:
  - $\varphi_E$  drückt aus, dass die letzte Konfiguration den ja-Zustand hat:
$$\varphi_E = Z_{n^k, \text{ja}}$$
- *Behauptung: Die Größe von  $\varphi$  ist polynomiell in  $n$ :*
  - Größe der einzelnen Teilformeln:

$\varphi_K$	$\mathcal{O}(n^{3k})$
$\varphi_A$	$\mathcal{O}(n^k)$
$\varphi_D$	$\mathcal{O}(n^{2k})$
$\varphi_E$	$\mathcal{O}(1)$

-   $|\psi_{\text{unique}}(x_1, \dots, x_s)| = \mathcal{O}(s^2)$ 
  - Zu beachten:  $m$  und  $l$  sind durch  $M$  bestimmt und damit konstant
- ➔ die Größe von  $\varphi$  ist polynomiell in  $n$

- Und: alle Teilformeln sind in konjunktiver Normalform, also auch ihre Konjunktion

## Beweisskizze (Forts.)

- Noch zu zeigen:  $w \in L \iff \varphi$  erfüllbar
- Also: Zu  $w$  gibt es genau dann eine Zusatzeingabe  $y$ , die  $M$  zum Akzeptieren bringt, wenn  $\varphi$  erfüllbar ist
- Falls es ein solches  $y$  gibt, können alle Variablen gemäß ihrer intendierten Bedeutung mit Wahrheitswerten belegt werden
- ➔  $\varphi$  wird wahr
- Umgekehrt: Zu jeder erfüllenden Belegung  $\alpha$  von  $\varphi$  lässt sich eine Zusatzeingabe  $y$  und eine akzeptierende Berechnung von  $M$  bei Eingabe  $w$  und Zusatzeingabe  $y$  konstruieren
- ➔  $w \in L$
- Nachweis jeweils durch Induktion nach  $t$
- Damit ist die Beweisskizze des Satzes von Cook vollendet

# Inhalt

19.1 Der Satz von Cook

▷ **19.2 Polynomielle Reduktionen**

19.3 3-SAT

19.4 Das Cliques-Problem

19.5 3-Färbbarkeit

19.6 Hamiltonkreise und TSP

19.7 Teilsummen und das Rucksack-Problem

# Einleitung

- Wir wissen jetzt also: SAT ist **NP**-vollständig
- Ihre große Bedeutung hat die **NP**-Vollständigkeit erst durch den Nachweis erlangt, dass viele andere algorithmische Probleme **NP**-vollständig sind
- Die erste größere Menge solcher Probleme wurde von Karp 1972 vorgestellt
  - Die Arbeit enthält alle im Folgenden betrachteten Probleme
  - Die hier vorgestellten Beweise sind aber zum Teil anders
- Wie schon gesagt, werden wir ähnlich wie im Falle der unentscheidbaren Probleme in Teil C vorgehen:
  - Ausgehend von SAT zeigen wir die **NP**-Vollständigkeit der anderen Probleme jeweils mit Hilfe einer *einzelnen* polynomiellen Reduktion
- Zunächst vergewissern wir uns aber, dass dieser Ansatz wirklich funktioniert
- Dazu zeigen wir, dass wir wie folgt schließen können
  - Wenn alle **NP**-Probleme polynomiell reduzierbar auf eine Sprache  $L'$  sind
  - und  $L'$  polynomiell auf eine Sprache  $L$  reduzierbar ist
  - dann sind auch alle **NP**-Probleme polynomiell reduzierbar auf  $L$
- Wir müssen also zeigen, dass  $\leq_p$  eine transitive Relation ist

# Reduktionen und NP-Vollständigkeit (1/2)

## Lemma 19.2

- Seien  $L_1, L_2, L_3 \subseteq \Sigma^*$  Sprachen
- Falls  $L_1 \leq_p L_2$  und  $L_2 \leq_p L_3$ , so gilt auch  $L_1 \leq_p L_3$

## Beweisskizze

- Sei  $f_1$  eine polynomielle Reduktion von  $L_1$  auf  $L_2$  und  $f_2$  eine polynomielle Reduktion von  $L_2$  auf  $L_3$
- Behauptung: Die durch  $f(w) \stackrel{\text{def}}{=} f_2(f_1(w))$  definierte Funktion ist eine polynomielle Reduktion von  $L_1$  auf  $L_3$

## Beweisskizze (Forts.)

- $f$  ist eine Reduktion:
  - Für alle Strings  $w \in \Sigma^*$  gilt:
$$w \in L_1 \iff f_1(w) \in L_2 \iff f(w) = f_2(f_1(w)) \in L_3$$
- $f$  kann in polynomieller Zeit berechnet werden:
  - Seien  $n^i$  und  $n^j$  Zeitschranken für die Berechnung von  $f_1$  und  $f_2$
  - ➔ Dann kann  $f(w)$  in  $|w|^i + |f_1(w)|^j \leq |w|^i + (|w|^i)^j = \mathcal{O}(|w|^{ij})$  Schritten berechnet werden
- Die binäre Relation  $\leq_p$  zwischen Sprachen ist also transitiv

## Reduktionen und NP-Vollständigkeit (2/2)

- Die Möglichkeit des Nachweises der **NP**-Vollständigkeit durch eine einzelne Reduktion wird nun durch das folgende Lemma eröffnet

### Lemma 19.3

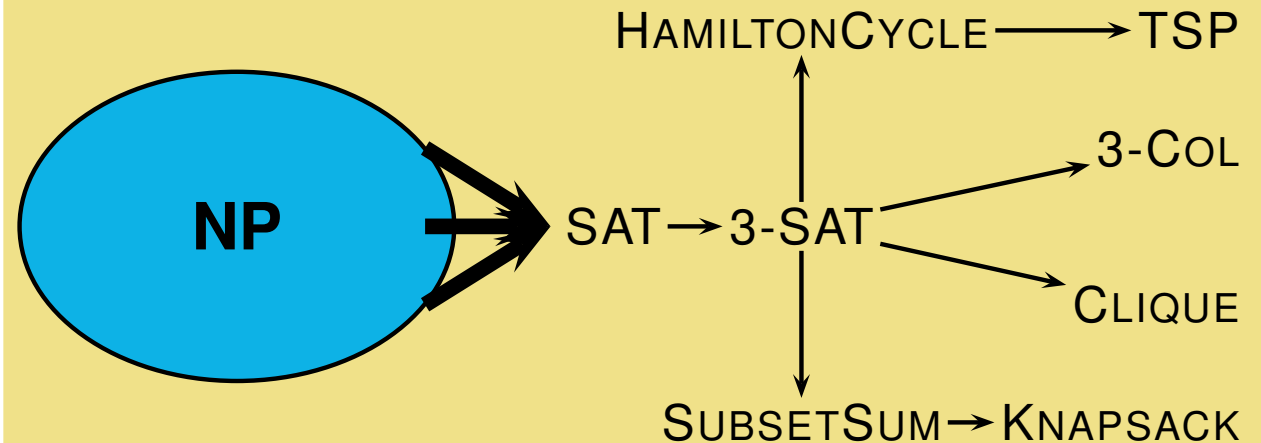
- Ist  $L'$  **NP**-schwierig und gilt  $L' \leq_p L$ , so ist auch  $L$  **NP**-schwierig

### Beweisskizze


- Sei  $L'' \in \mathbf{NP}$  beliebig  
➔  $L'' \leq_p L'$   
☞ da  $L'$  **NP**-schwierig
- Wegen  $L' \leq_p L$  folgt  
 $L'' \leq_p L$   
☞ gemäß Lemma 19.2
- ➔  $L$  **NP**-schwierig

- Um nachzuweisen, dass ein Problem  $L$  **NP**-vollständig ist, genügt es also zu zeigen:
  - $L \in \mathbf{NP}$
  - $L' \leq_p L$  für ein **NP**-vollständiges Problem  $L'$

- Die Reduktionen, die wir in diesem Kapitel betrachten werden, sind in der folgenden Abbildung zusammengefasst:



# Polynomielle Reduktionen: Rezept

- Die folgenden Beweise für Aussagen der Art  $L_1 \leq_p L_2$  verlaufen alle nach demselben Muster
  - Sie gehen in vier Schritten vor
- (1) Definiere eine Reduktionsfunktion  $f$ , die Eingaben für  $L_1$  auf Eingaben für  $L_2$  abbildet
  - (2) Zeige, dass  $f$  in polynomieller Zeit berechnet werden kann  
 Das ist meistens ziemlich offensichtlich
  - (3) Zeige: wenn  $w \in L_1$  dann ist auch  $f(w) \in L_2$ 
    - Beweise dazu, dass aus jeder Lösung  $y_1$  für  $w$  eine Lösung  $y_2$  für  $f(w)$  konstruiert werden kann
  - (4) Zeige: wenn  $f(w) \in L_2$  dann ist auch  $w \in L_1$ 
    - Beweise dazu, dass aus jeder Lösung  $y_2$  für  $f(w)$  eine Lösung  $y_1$  für  $w$  konstruiert werden kann
- Daraus folgt dann  $L_1 \leq_p L_2$

# Inhalt

19.1 Der Satz von Cook

19.2 Polynomielle Reduktionen

▷ **19.3 3-SAT**

19.4 Das Cliques-Problem

19.5 3-Färbbarkeit

19.6 Hamiltonkreise und TSP

19.7 Teilsummen und das Rucksack-Problem

## SAT $\leq_p$ 3-SAT (1/4)

### Proposition 19.4

$$\text{SAT} \leq_p \text{3-SAT}$$

- Bei dieser Reduktion verwenden wir für lange Klauseln eine ähnliche Idee wie beim Entfernen langer rechter Seiten bei der Umwandlung kontextfreier Grammatiken in Chomsky-Normalform...

### Beispiel

- Für  $\varphi = (x_1 \vee \neg x_2) \wedge (x_2 \vee \neg x_4 \vee x_7 \vee \neg x_8 \vee x_1 \vee \neg x_5)$  sei:

$$\begin{aligned} f(\varphi) \stackrel{\text{def}}{=} & (x_1 \vee \neg x_2 \vee \neg x_2) \wedge \\ & (x_2 \vee \neg x_4 \vee y_1^2) \wedge \\ & (\neg y_1^2 \vee x_7 \vee y_2^2) \wedge \\ & (\neg y_2^2 \vee \neg x_8 \vee y_3^2) \wedge \\ & (\neg y_3^2 \vee x_1 \vee \neg x_5) \end{aligned}$$

- Die erfüllende Belegung  
 $\theta : x_1 \mapsto 0, x_2 \mapsto 0, x_4 \mapsto 1, x_7 \mapsto 0, x_8 \mapsto 0, x_5 \mapsto 1$   
kann zu einer erfüllenden Belegung von  $f(\varphi)$  erweitert werden durch:  
 $y_1^2 \mapsto 1, y_2^2 \mapsto 1, y_3^2 \mapsto 0$



## SAT $\leq_p$ 3-SAT (2/4)

### Beweisskizze

- Sei  $\varphi = K_1 \wedge \cdots \wedge K_m$  eine KNF-Formel

(1)  $f(\varphi) \stackrel{\text{def}}{=} \chi_1 \wedge \cdots \wedge \chi_m$ , wobei die 3-KNF-Formeln  $\chi_i$  wie folgt definiert sind

- Sei  $K_i = L_1 \vee \cdots \vee L_j$  (mit Literalen  $L_\ell$ )
- Wenn  $j = 1$ , dann  $\chi_i \stackrel{\text{def}}{=} L_1 \vee L_1 \vee L_1$
- Wenn  $j = 2$ , dann  $\chi_i \stackrel{\text{def}}{=} L_1 \vee L_2 \vee L_2$
- Wenn  $j = 3$ , dann  $\chi_i \stackrel{\text{def}}{=} K_i$
- Wenn  $j > 3$  verwenden wir  $j - 3$  neue Variablen  $y_1^i, \dots, y_{j-3}^i$  und definieren
$$\chi_i \stackrel{\text{def}}{=} (L_1 \vee L_2 \vee y_1^i) \wedge$$
$$(\neg y_1^i \vee L_3 \vee y_2^i) \wedge$$
$$\vdots$$
$$(\neg y_{j-4}^i \vee L_{j-2} \vee y_{j-3}^i) \wedge$$
$$(\neg y_{j-3}^i \vee L_{j-1} \vee L_j)$$

(2)  $f(\varphi)$  kann in quadratischer Zeit in  $|\varphi|$  berechnet werden

# SAT $\leq_p$ 3-SAT (3/4)

## Beweisskizze (Forts.)

(3)  $\varphi$  erfüllbar  $\Rightarrow f(\varphi)$  erfüllbar:

- Sei  $\theta$  eine Belegung mit  $\theta \models \varphi$   
 $\Rightarrow$  für jedes  $i \leq m$  gilt:  $\theta \models K_i$
- Wir zeigen, dass wir  $\theta$  zu einer Belegung  $\theta'$  erweitern können (die auch für die neuen Variablen definiert ist), so dass, für jedes  $i$  gilt:  $\theta' \models \chi_i$
- Da die neuen Variablen jeweils nur in *einer* Teilformel  $\chi_i$  vorkommen, können wir die Erweiterung von  $\theta'$  für jedes  $\chi_i$  einzeln definieren
- Sei also  $i \leq m$  und  

$$K_i = L_1 \vee \dots \vee L_j$$
- Falls  $j \leq 3$ , muss  $\theta$  für  $\chi_i$  nicht erweitert werden

## Beweisskizze (Forts.)

- Sei nun  $j > 3$
- Wenn  $\theta$  eines der beiden ersten Literale von  $K_i$  wahr macht ( $\theta \models L_1$  oder  $\theta \models L_2$ ), können alle neuen Variablen mit 0 belegt werden:
  - $\theta'(y_\ell^i) \stackrel{\text{def}}{=} 0$ , für alle  $\ell \leq j - 3$
- Wenn nicht, aber  $\theta$  eines der beiden letzten Literale von  $K_i$  wahr macht ( $\theta \models L_{j-1}$  oder  $\theta \models L_j$ ), können alle neuen Variablen auf 1 gesetzt werden
  - $\theta'(y_\ell^i) \stackrel{\text{def}}{=} 1$ , für alle  $\ell \leq j - 3$
- Andernfalls sei  $p \leq j$  die kleinste Zahl mit  $\theta \models L_p$  und wir setzen
  - $\theta'(y_\ell^i) \stackrel{\text{def}}{=} \begin{cases} 1 & \text{für alle } \ell \leq p - 2 \\ 0 & \text{für alle } \ell \geq p - 1 \end{cases}$
- In allen Fällen folgt dann:  $\theta' \models \chi_i$

## SAT $\leq_p$ 3-SAT (4/4)

### Beweisskizze (Forts.)

(4)  $f(\varphi)$  erfüllbar  $\Rightarrow \varphi$  erfüllbar:

- Sei  $\theta'$  eine erfüllende Belegung für  $f(\varphi)$   
➔ für jedes  $i \leq m$  gilt:  $\theta' \models \chi_i$
- Wir definieren  $\theta(x_p) \stackrel{\text{def}}{=} \theta'(x_p)$ , für alle Variablen  $x_p$ , die in  $\varphi$  vorkommen
- Zu zeigen: für jedes  $i \leq m$  gilt:  $\theta \models K_i$
- Sei also  $K_i = L_1 \vee \dots \vee L_j$  eine Klausel von  $\varphi$
- Falls  $j \leq 3$ , ist  $K_i$  äquivalent zu  $\chi_i$  und deshalb folgt  $\theta \models K_i$  direkt aus  $\theta' \models \chi_i$

### Beweisskizze (Forts.)

- Beobachtung: falls  $j > 3$  können nicht alle Klauseln von  $\chi_i$  durch Literale mit Variablen  $y_q^i$  wahr gemacht werden
  - denn: nach Konstruktion kann jede Variable nur eine Klausel wahr machen, es sind aber weniger neue Variablen als Klauseln
- ➔ für ein  $p \leq j$  muss gelten  $\theta' \models L_p$
- ➔  $\theta \models K_i$

### Folgerung 19.5

3-SAT ist **NP**-vollständig

# Inhalt

19.1 Der Satz von Cook

19.2 Polynomielle Reduktionen

19.3 3-SAT

▷ **19.4 Das Cliquen-Problem**

19.5 3-Färbbarkeit

19.6 Hamiltonkreise und TSP

19.7 Teilsummen und das Rucksack-Problem

## 3-SAT $\leq_p$ CLIQUE (1/5)

- Die Reduktionen  $3\text{-COL} \leq_p \text{SAT}$  und  $\text{SAT} \leq_p 3\text{-SAT}$  waren nicht allzu kompliziert
  - Dass sich die Korrektheit einer 3-Färbung eines Graphen in einer aussagenlogischen Formel „kodieren“ lässt, ist nicht allzu überraschend
- Wir wollen jetzt zeigen:  $3\text{-SAT} \leq_p \text{CLIQUE}$ 
  - Das ist schon weniger nahe liegend
  - Wie sollen Variablen, Wahrheitsbelegungen und Klauseln in einen Graphen kodiert werden?
  - Das ist deutlich komplizierter
- Grob gesagt, ist die Korrespondenz zwischen Formeln und Graphen in dieser Reduktion wie folgt:
  - Jedes *Vorkommen* eines Literals entspricht einem Knoten im Graphen
  - Kanten zwischen Knoten drücken aus, dass die entsprechenden Literale sich nicht widersprechen
  - Cliquen im Graphen entsprechen dann Mengen simultan erfüllbarer Literale

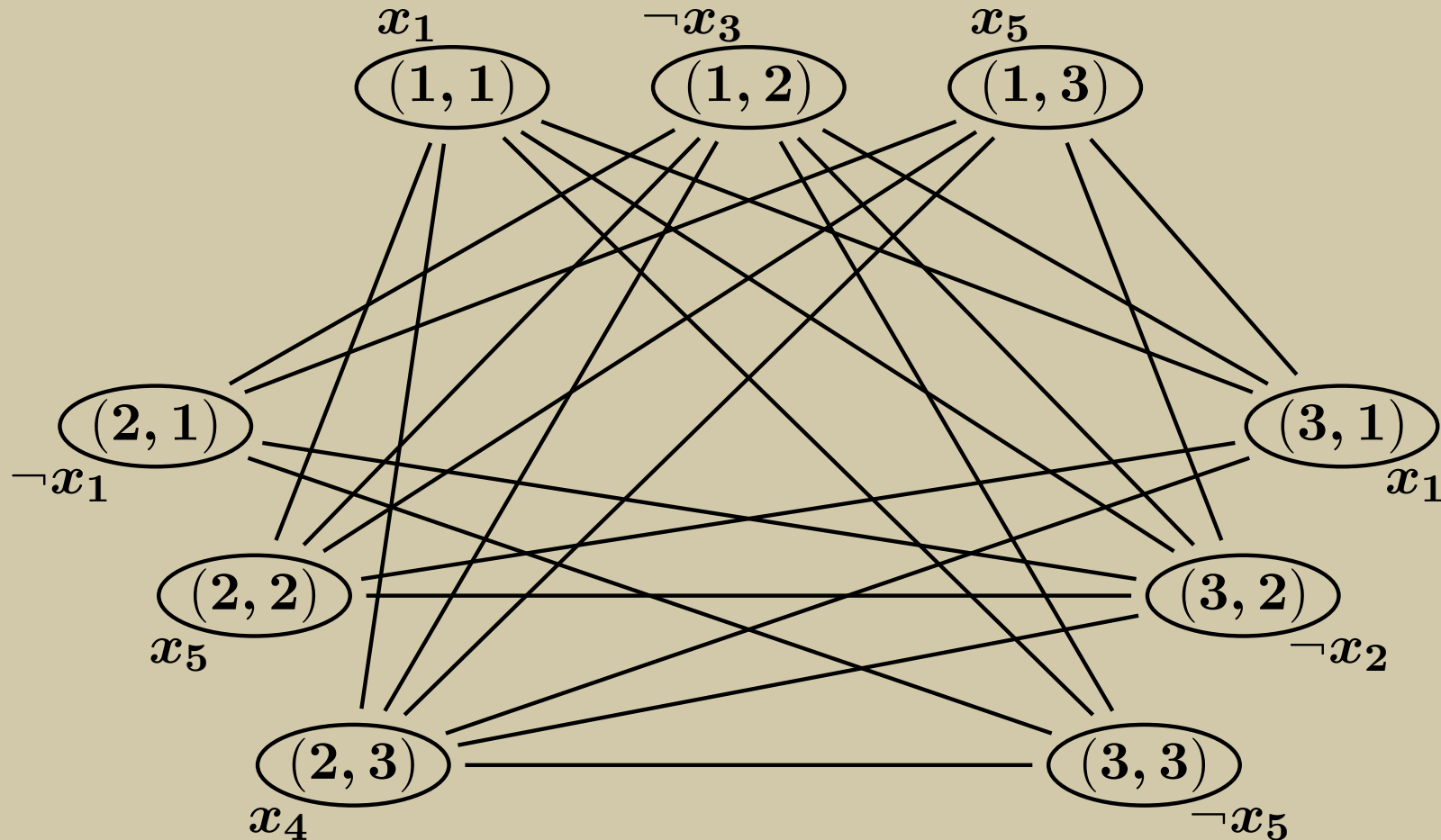
Proposition 19.6

$3\text{-SAT} \leq_p \text{CLIQUE}$

## 3-SAT $\leq_p$ CLIQUE (2/5)

### Illustration der Reduktion von 3-SAT auf CLIQUE

- Beispielformel  $\varphi = (x_1 \vee \neg x_3 \vee x_5) \wedge (\neg x_1 \vee x_5 \vee x_4) \wedge (x_1 \vee \neg x_2 \vee \neg x_5)$
- Beispielgraph  $G_\varphi$ :



## 3-SAT $\leq_p$ CLIQUE (3/5)

### Beweisskizze

(1) Sei  $\varphi$  eine Formel in KNF mit  $m$  Klauseln zu je 3 Literalen

- Wir konstruieren einen Graphen  $G$  mit  $3m$  Knoten so dass gilt:  
 $G$  hat eine Clique der Größe  $m \iff \varphi$  ist erfüllbar

- Sei  $\varphi = (L_{11} \vee L_{12} \vee L_{13}) \wedge \cdots \wedge (L_{m1} \vee L_{m2} \vee L_{m3})$

- Sei  $G = (V, E)$  mit
  - $V = \{(i, j) \mid 1 \leq i \leq m, 1 \leq j \leq 3\}$
  - $E = \{((i, j), (k, l)) \mid i \neq k \text{ und } L_{ij} \neq \neg L_{kl}\}$

- $G$  hat also einen Knoten für jedes Vorkommen eines Literals in einer Klausel von  $\varphi$
- Zwei Knoten sind miteinander verbunden, wenn ihre Literale
  - nicht in derselben Klausel sind *und*
  - sich nicht direkt widersprechen, d.h. nicht einer Variablen  $x_i$  und ihrer Negation  $\neg x_i$  entsprechen
- Wir definieren  $f(\varphi) \stackrel{\text{def}}{=} (G, m)$

(2)  $f$  kann in quadratischer Zeit in  $|\varphi|$  berechnet werden

## 3-SAT $\leq_p$ CLIQUE (4/5)

### Beweisskizze (Forts.)

(3)  $\varphi$  erfüllbar  $\Rightarrow G$  hat eine  $m$ -Clique

- Sei  $\theta$  eine erfüllende Belegung für  $\varphi$

- Dann gibt es für jedes  $i \leq m$  ein  $j_i \in \{1, 2, 3\}$ , so dass  $\theta \models L_{ij_i}$

- ➔ Die Literale  $L_{1j_1}, \dots, L_{mj_m}$  sind in verschiedenen Klauseln und widersprechen sich nicht
- ➔ Ihre zugehörigen Knoten bilden eine Clique der Größe  $m$  in  $G$
- ➔ (3)

### Beweisskizze (Forts.)

(4)  $G$  hat eine  $m$ -Clique  $\Rightarrow \varphi$  erfüllbar

- Sei  $C$  eine  $m$ -Clique von  $G$

- $C$  besteht aus Knoten zu  $m$  Literalen  $L_{1j_1}, \dots, L_{mj_m}$  aus verschiedenen Klauseln

- Da alle diese Literale miteinander verbunden sind, gibt es keine Variable  $x_p$ , für die sowohl  $x_p$  als auch  $\neg x_p$  in  $\{L_{1j_1}, \dots, L_{mj_m}\}$  vorkommt

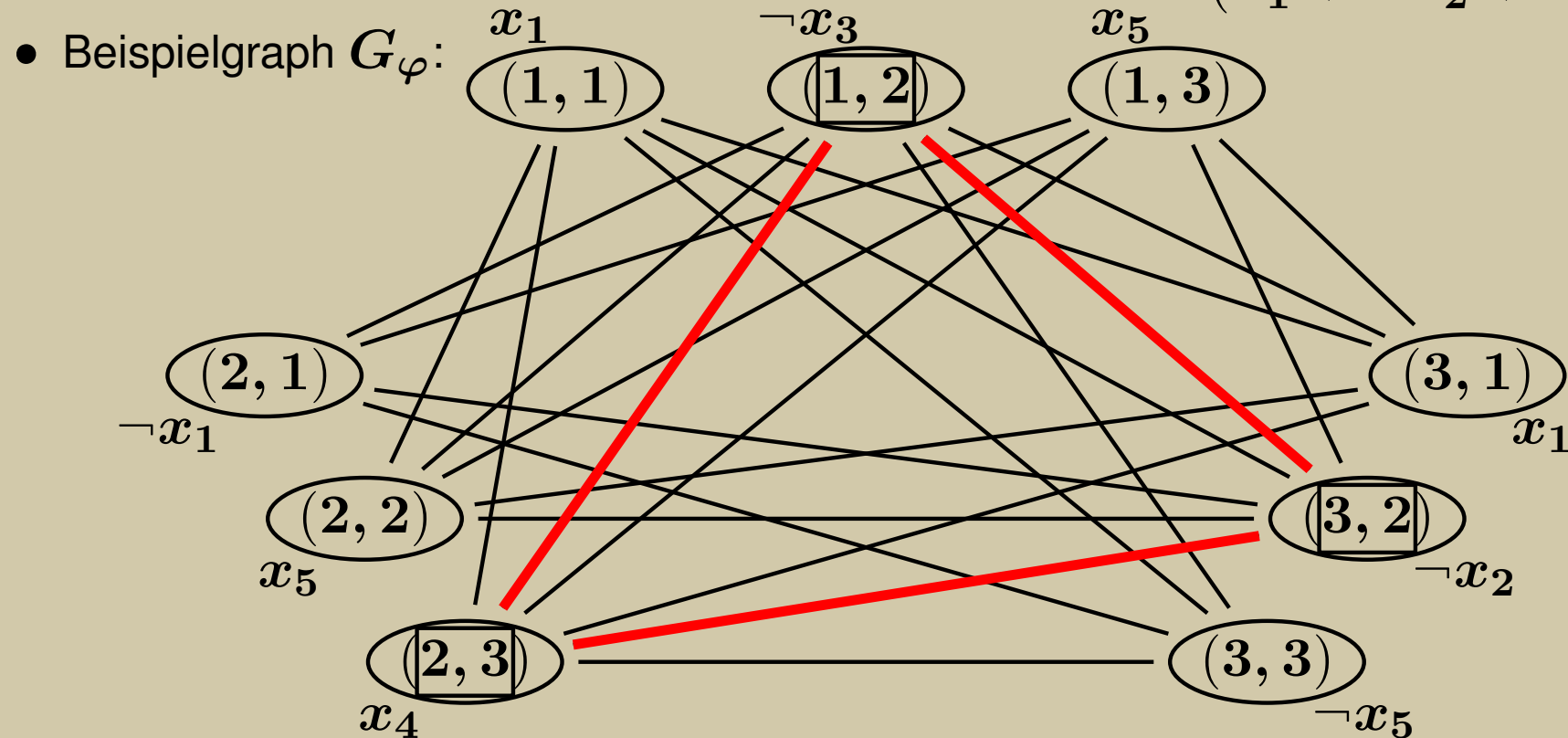
- ➔  $\theta$  kann so definiert werden, dass alle Literale  $L_{1j_1}, \dots, L_{mj_m}$  wahr werden
- ➔  $\theta$  macht in jeder Klausel mindestens ein Literal wahr
- ➔ (4)



# 3-SAT $\leq_p$ CLIQUE (5/5)

## Illustration der Reduktion von 3-SAT auf CLIQUE

- Beispielformel  $\varphi = (x_1 \vee \neg x_3 \vee x_5) \wedge (\neg x_1 \vee x_5 \vee x_4) \wedge (x_1 \vee \neg x_2 \vee \neg x_5)$



- Die Knoten  $(1, 2)$ ,  $(2, 3)$  und  $(3, 2)$  bilden eine Clique in  $G_\varphi$
- ➡ Die Literale  $\neg x_3$ ,  $\neg x_2$  und  $x_4$  widersprechen sich nicht
- ➡ Sie induzieren deshalb eine erfüllende Belegung von  $\varphi$ :
  - $\theta(x_2) = 0, \theta(x_3) = 0, \theta(x_4) = 1$
  - Der Rest ist frei wählbar, z.B.:  $\theta(x_1) = 0, \theta(x_5) = 1$

# Inhalt

19.1 Der Satz von Cook

19.2 Polynomielle Reduktionen

19.3 3-SAT

19.4 Das Cliquen-Problem

▷ **19.5 3-Färbbarkeit**

19.6 Hamiltonkreise und TSP

19.7 Teilsummen und das Rucksack-Problem

## 3-SAT $\leq_p$ 3-COL (1/9)


- Bei der nächsten Reduktion 3-SAT  $\leq_p$  3-COL wird wieder zu jeder 3KNF-Formel ein Graph (und eine Zahl) konstruiert
- Die Korrespondenz zwischen den Bestandteilen des Graphen und der Formel ist jedoch anders
- Wir assoziieren
  - jede aussagenlogische Variable  $x_i$  mit jeweils zwei Knoten  $x_i$  und  $\neg x_i$  des Graphen,
  - Wahrheitswerte mit Farben,
  - und Klauseln mit speziell konstruierten Teilgraphen, die nur dann korrekt gefärbt werden können, wenn die entsprechende Klausel durch die gegebene Wahrheitsbelegung wahr wird

### Proposition 19.7

- 3-SAT  $\leq_p$  3-COL

## 3-SAT $\leq_p$ 3-COL (2/9)

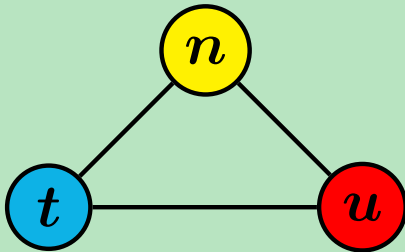
### Beweisskizze

- (1) Sei  $\varphi = K_1 \wedge \dots \wedge K_m$  eine 3KNF-Formel mit Variablen  $x_1, \dots, x_n$  und Klauseln  $K_1, \dots, K_m$
- Mit  $L_{i1}, L_{i2}, L_{i3}$  seien jeweils die drei Literale der Klausel  $K_i$  bezeichnet
  - Also:  $K_i = L_{i1} \vee L_{i2} \vee L_{i3}$
- Die Reduktion konstruiert einen Graphen  $G$  mit folgenden Knoten:
- Für jedes  $i \leq n$  je ein Knoten  $x_i$  und  $\neg x_i$   
(die *Literalknoten*)
  - Für jedes  $i \leq m$  fünf Knoten  $b_i, c_i, d_i, e_i, g_i$  pro Klausel  $K_i$   
(die *Klauselknoten*)
  - Drei Knoten  $t, u, n$
- Intention:  $G$  ist genau dann mit rot, blau und gelb zulässig färbbar, wenn  $\varphi$  erfüllbar ist
- Wir definieren dann  $f(\varphi) \stackrel{\text{def}}{=} G$
-  Literale kommen im Folgenden in  $\varphi$  und als Knoten in  $G$  vor!

## 3-SAT $\leq_p$ 3-COL (3/9)

### Beweisskizze (Forts.)

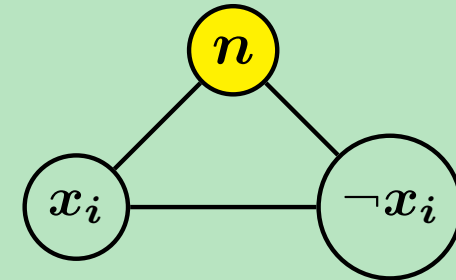
- Unabhängig von der gegebenen Formel enthält  $G$  die Kanten  $(u, t), (u, n), (t, n)$ :



- Intention:  $t, u, n$  müssen verschieden gefärbt werden
- Für den Nachweis der Reduktionseigenschaft werden wir im Folgenden oBdA davon ausgehen, dass zulässige Färbungen  $t$  blau,  $u$  rot und  $n$  gelb färben
- Intuitiv soll blau „wahr“ und rot „unwahr“ entsprechen  $t \equiv \text{true}, u \equiv \text{untrue}$
- (gelb ist „neutral“)

### Beweisskizze (Forts.)

- Für jedes  $i$  enthält  $G$  die Kanten  $(n, x_i), (n, \neg x_i), (\neg x_i, x_i)$ :

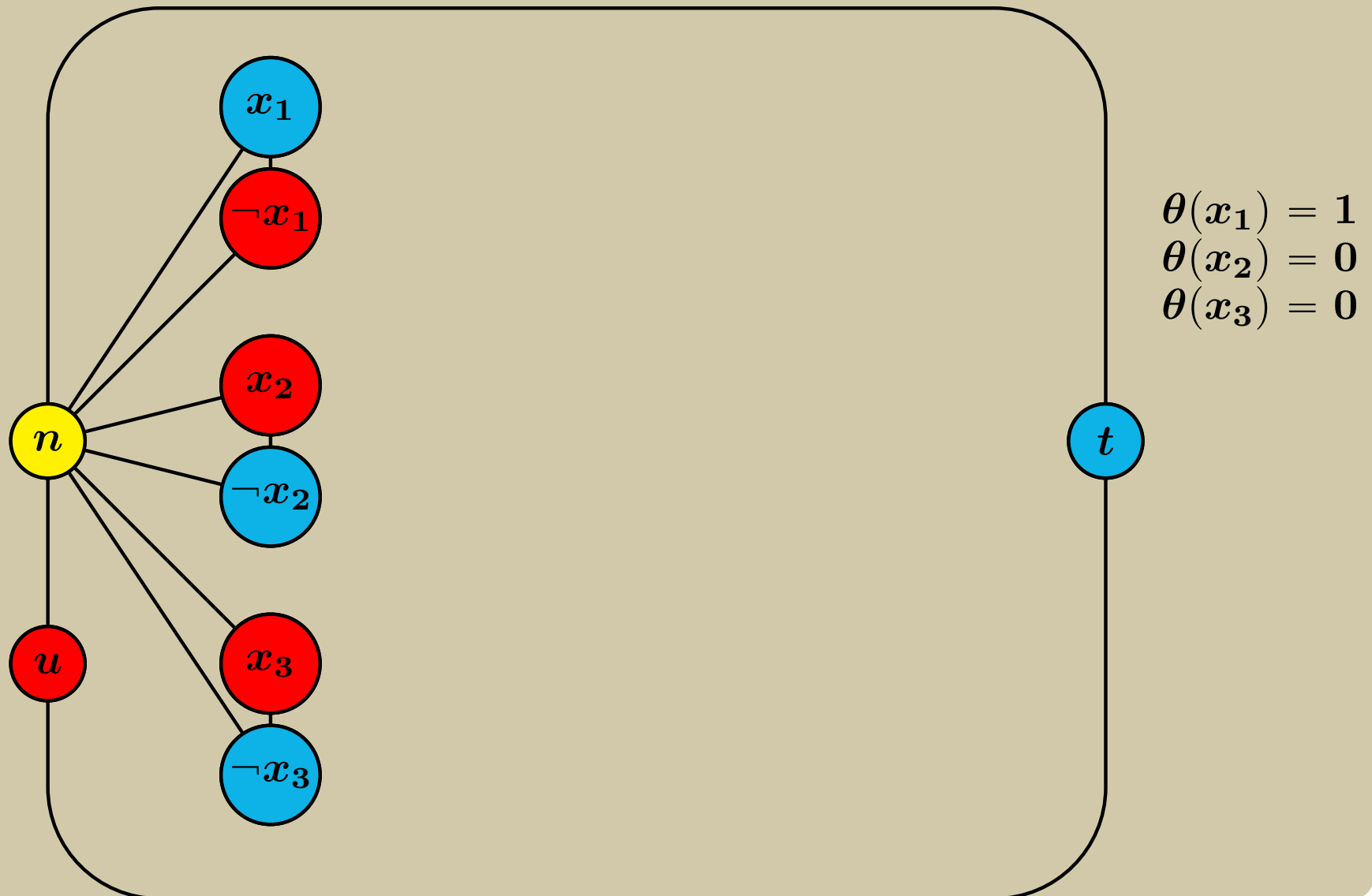


- Intention:
  - Die Knoten  $x_i$  und  $\neg x_i$  müssen jeweils verschieden gefärbt werden  $\Rightarrow$  klar
  - Da  $n$  gelb ist, müssen dafür die Farben rot und blau verwendet werden
- Wir erweitern unsere Intention entsprechend:
  - Falls  $x_i$  in  $G$  blau gefärbt wird, soll dies  $\theta(x_i) = 1$  entsprechen
  - Falls  $\neg x_i$  in  $G$  blau gefärbt wird, soll dies  $\theta(x_i) = 0$  entsprechen

# 3-SAT $\leq_p$ 3-COL (4/9)

## Beispiel (Forts.)

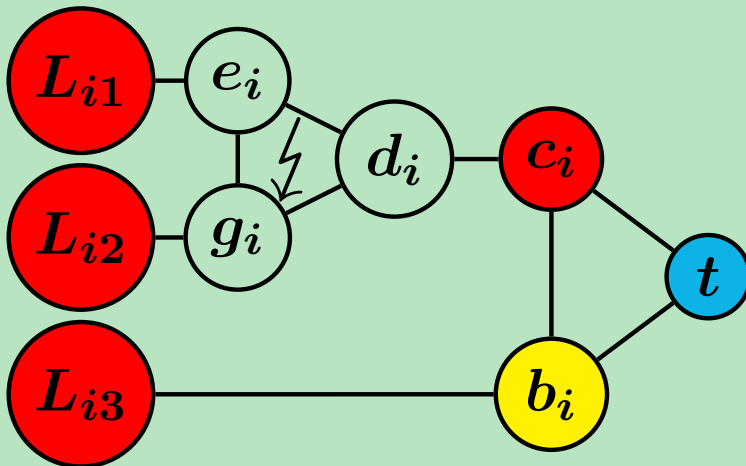
- Beispielformel  $\varphi = (x_1 \vee \neg x_2 \vee x_3) \wedge (\neg x_1 \vee x_2 \vee \neg x_3) \wedge (x_1 \vee x_2 \vee \neg x_3)$
- Beispielgraph  $G$  (im Aufbau):



# 3-SAT $\leq_p$ 3-COL (5/9)

## Beweisskizze (Forts.)

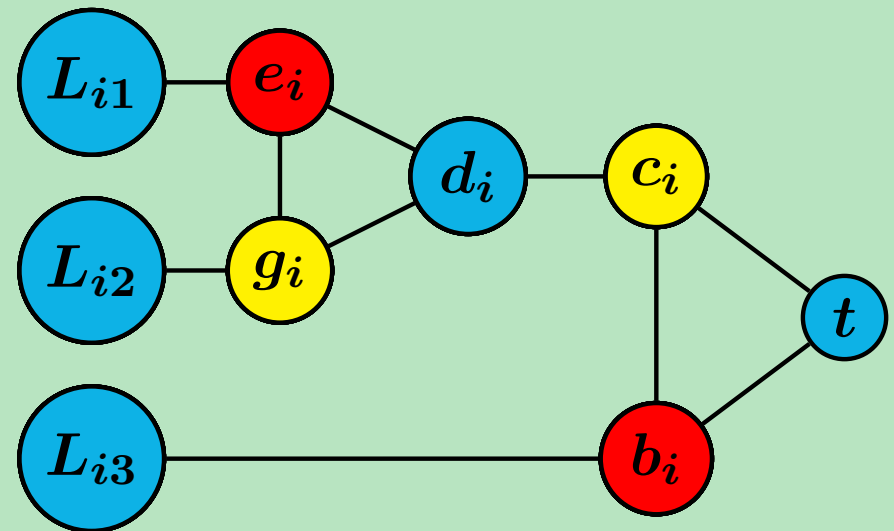
- Schließlich verwenden wir für jede Klausel  $K_i$  mit Literalen  $L_{i1}, L_{i2}, L_{i3}$  einen Teilgraphen  $H_i$  der folgenden Form



- Dabei sind  $b_i, c_i, d_i, e_i, g_i$  neue Knoten, die nur in  $H_i$  vorkommen
- Beobachtung: Sind alle drei Knoten  $L_{i1}, L_{i2}, L_{i3}$  rot, so kann dieser Teilgraph nicht zulässig gefärbt werden

## Beweisskizze (Forts.)

- Umgekehrt kann jede Färbung, die mindestens einen der Knoten  $L_i$  blau färbt, zu einer zulässigen Färbung des Teilgraphen erweitert werden:

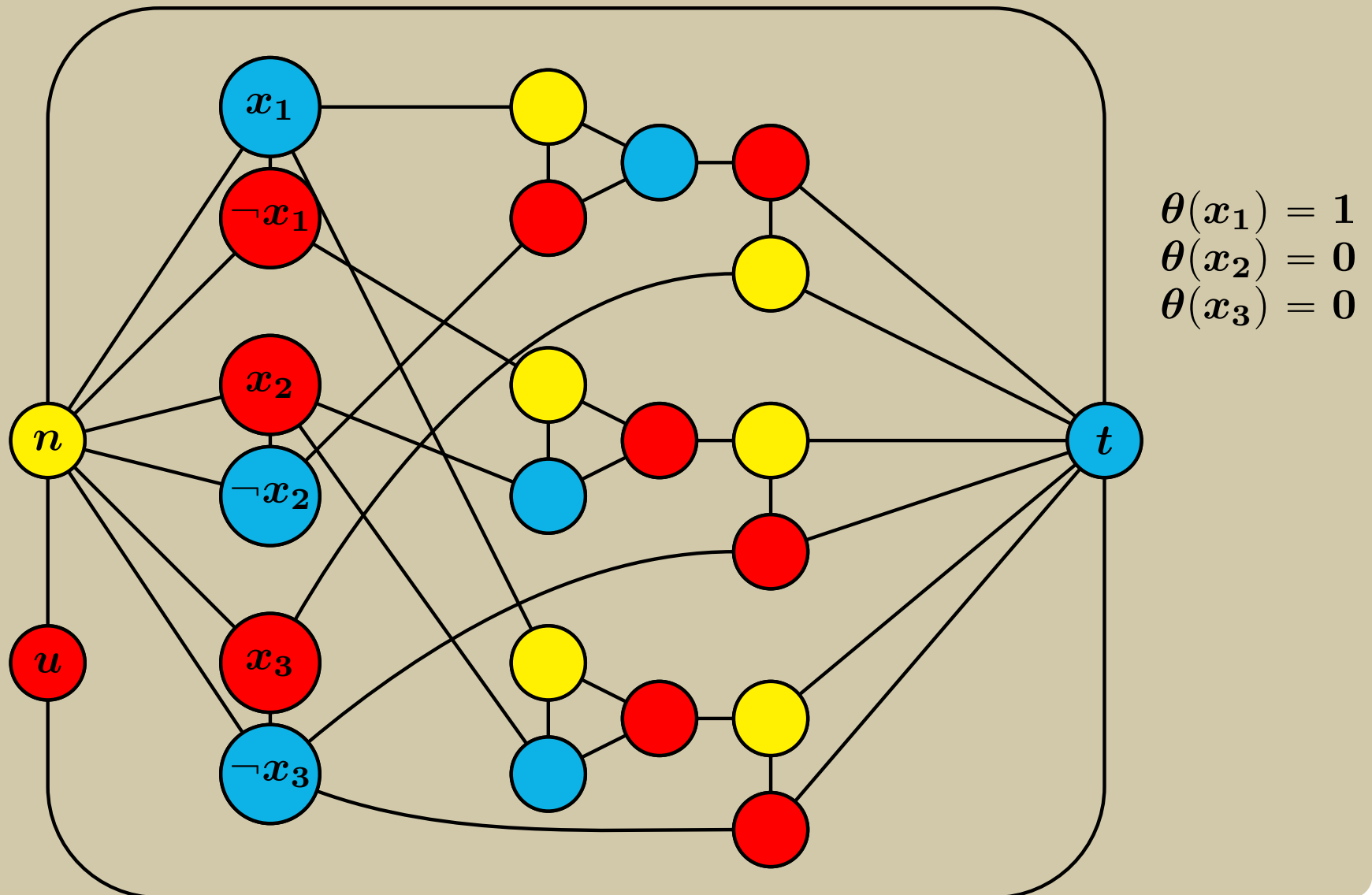


- Wir nennen den Teilgraphen  $H_i$  mit den Knoten  $b_i, c_i, d_i, e_i, g_i$ , den **Klausel-Teilgraphen** zu  $K_i$
- Die Knoten  $L_{i1}, L_{i2}, L_{i3}$  nennen wir die **mit  $H_i$  verbundenen Literalknoten**

# 3-SAT $\leq_p$ 3-COL (6/9)

## Beispiel (Forts.)

- Beispielformel  $\varphi = (x_1 \vee \neg x_2 \vee x_3) \wedge (\neg x_1 \vee x_2 \vee \neg x_3) \wedge (x_1 \vee x_2 \vee \neg x_3)$
- Beispielgraph  $G$ :





## Beweis von $3\text{-SAT} \leq_p 3\text{-COL}$ (7/9)

### Beweisskizze (Forts.)

- $G$  hat also insgesamt die folgenden Kanten:
  - $(u, t), (u, n), (t, n)$
  - Für jedes  $i \leq n$ :  $(n, x_i), (n, \neg x_i), (\neg x_i, x_i)$
  - Für jedes  $i \leq m$ :  
 $(L_{i1}, e_i), (L_{i2}, g_i), (L_{i3}, b_i), (e_i, g_i), (e_i, d_i),$   
 $(g_i, d_i), (d_i, c_i), (c_i, b_i), (c_i, t), (b_i, t)$

(2)  $f(\varphi) = G$  kann in polynomieller Zeit berechnet werden

## 3-SAT $\leq_p$ 3-COL (8/9)

### Beweisskizze (Forts.)

(3)  $\varphi$  erfüllbar  $\Rightarrow G$  3-färbbar

- Sei  $\theta : \{x_1, \dots, x_n\} \rightarrow \{0, 1\}$  eine erfüllende Belegung für  $\varphi$
- Wir konstruieren eine zulässige Färbung  $c$ :
  - $c(t) \stackrel{\text{def}}{=} \text{blau}$ ,  $c(u) \stackrel{\text{def}}{=} \text{rot}$ ,  $c(n) \stackrel{\text{def}}{=} \text{gelb}$
  - $c(x_i) \stackrel{\text{def}}{=} \text{blau}$ , falls  $\theta(x_i) = 1$ , andernfalls rot
  - $c(\neg x_i) \stackrel{\text{def}}{=} \text{blau}$ , falls  $\theta(x_i) = 0$ , andernfalls rot
- Da  $\theta$  jede Klausel  $K_i$  wahr macht, hat jeder Teilgraph  $H_i$  mindestens einen blauen Literal-Knoten
- ➡ Jeder Teilgraph  $H_i$  kann zulässig gefärbt werden
- Bezüglich der übrigen Kanten ist die entstehende Färbung ebenfalls zulässig
- ➡  $f(\varphi)$  ist 3-färbbar
- ➡ (3)

## 3-SAT $\leq_p$ 3-COL (9/9)

### Beweis (Forts.)

(4)  $G$  3-färbbar  $\Rightarrow \varphi$  erfüllbar

- Sei  $c$  eine zulässige Färbung von  $G$
- OBdA:  $c(t) = \text{blau}$ ,  $c(u) = \text{rot}$ ,  $c(n) = \text{gelb}$ 
  - Sonst benennen wir die Farben um

- ➔ Für jedes  $i \leq n$  gilt:
- $c(x_i) = \text{blau}$  und  $c(\neg x_i) = \text{rot}$  oder
  - $c(x_i) = \text{rot}$  und  $c(\neg x_i) = \text{blau}$

### Beweis (Forts.)

- Definiere  $\theta$  durch
  - $\theta(x_i) \stackrel{\text{def}}{=} \begin{cases} 1 & \text{falls } c(x_i) = \text{blau} \\ 0 & \text{falls } c(x_i) = \text{rot} \end{cases}$

- Für jedes Literal  $L$  gilt also:  
 $\theta \models L \iff c(L) = \text{blau}$

- Da jeder Klauselgraph  $H_i$  zulässig gefärbt ist, muss jeweils mindestens einer der Literalknoten  $L_{i1}, L_{i2}, L_{i3}$  blau sein
- ➔ für jede Klausel  $K_i$  wird mindestens eines der Literale  $L_{i1}, L_{i2}, L_{i3}$  wahr
- ➔  $\theta$  ist eine erfüllende Belegung von  $\varphi$
- ➔  $\varphi$  erfüllbar
- ➔ (4)

# Präsentation von Reduktionsbeweisen

- In der Darstellung von Reduktionen (z.B.: von 3-SAT auf 3-COL) vermischen sich meist mehrere Aspekte
- Die Beschreibung der Reduktionsfunktion
  - im Beispiel: der Funktion
$$f : \varphi \mapsto G_\varphi$$
- Die Beschreibung der Intention der Reduktion, also z.B.
  - die Korrespondenz zwischen Färbungen und Wahrheitsbelegungen („falls Knoten  $x_i$  blau wird, ist  $\theta(x_i) = 1$ “)
  - die Färbbarkeitseigenschaften der elementaren Dreiecke und der Klauselgraphen
- Diese Vermischung erscheint schwer vermeidlich, da andernfalls die Konstruktion kaum zu verstehen wäre

- Wichtig ist aber, dass Sie sich klarmachen, dass die Reduktionsfunktion  $f$  selbst *weder eine erfüllende Belegung noch eine zulässige Färbung konstruiert*
- Es besteht lediglich ein *Zusammenhang* zwischen erfüllenden Belegungen und zulässigen Färbungen
  - Mit Hilfe dieses Zusammenhangs beweisen wir dann in den Schritten (3) und (4), dass  $f$  eine Reduktion ist

# Inhalt

19.1 Der Satz von Cook

19.2 Polynomielle Reduktionen

19.3 3-SAT

19.4 Das Cliques-Problem

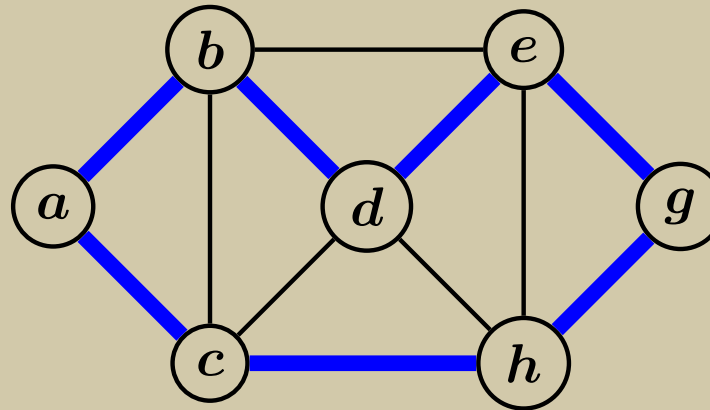
19.5 3-Färbbarkeit

▷ **19.6 Hamiltonkreise und TSP**

19.7 Teilsummen und das Rucksack-Problem

# Zur Erinnerung: Hamilton-Kreise

Beispiel



Definition (HAMILTONCYCLE)

**Gegeben:** Ungerichteter Graph  $G$

**Frage:** Gibt es einen geschlossenen Weg in  $G$ , der jeden Knoten genau einmal besucht?

## 3-SAT $\leq_p$ HAMILTONCYCLE (1/9)

- Bei der folgenden Reduktion von 3-SAT auf HAMILTONCYCLE entspricht jede Variable  $x_i$  der Formel einem Knoten  $v_i$  des Graphen
- Jeder Knoten  $v_i$  hat zwei ausgehende Kanten, die zu den beiden Literalen  $x_i$  und  $\neg x_i$  korrespondieren
- Jede Wahrheitsbelegung entspricht dann der Auswahl einer Menge von Kanten für die Literale, die sie wahr macht
- Zu jeder Klausel der Formel gibt es einen Teilgraphen
  - Diese Klauselgraphen sorgen dafür, dass sich eine Menge von „Ausgangskanten“ genau dann zu einem Hamiltonkreis erweitern lässt, wenn die entsprechende Wahrheitsbelegung erfüllend ist

### Proposition 19.8

$$3\text{-SAT} \leq_p \text{HAMILTONCYCLE}$$

## 3-SAT $\leq_p$ HAMILTONCYCLE (2/9)

### Beweisskizze

- Wir zeigen zuerst: 3-SAT  $\leq_p$  GHAMILTONCYCLE
  - GHAMILTONCYCLE: Gegeben ein *gerichteter* Graph  $G$ , hat  $G$  einen *gerichteten* Hamiltonkreis?

(1) Sei  $\varphi = (L_{11} \vee L_{12} \vee L_{13}) \wedge \cdots \wedge (L_{m1} \vee L_{m2} \vee L_{m3})$

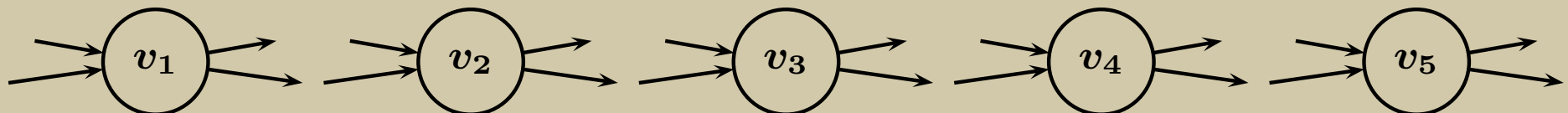
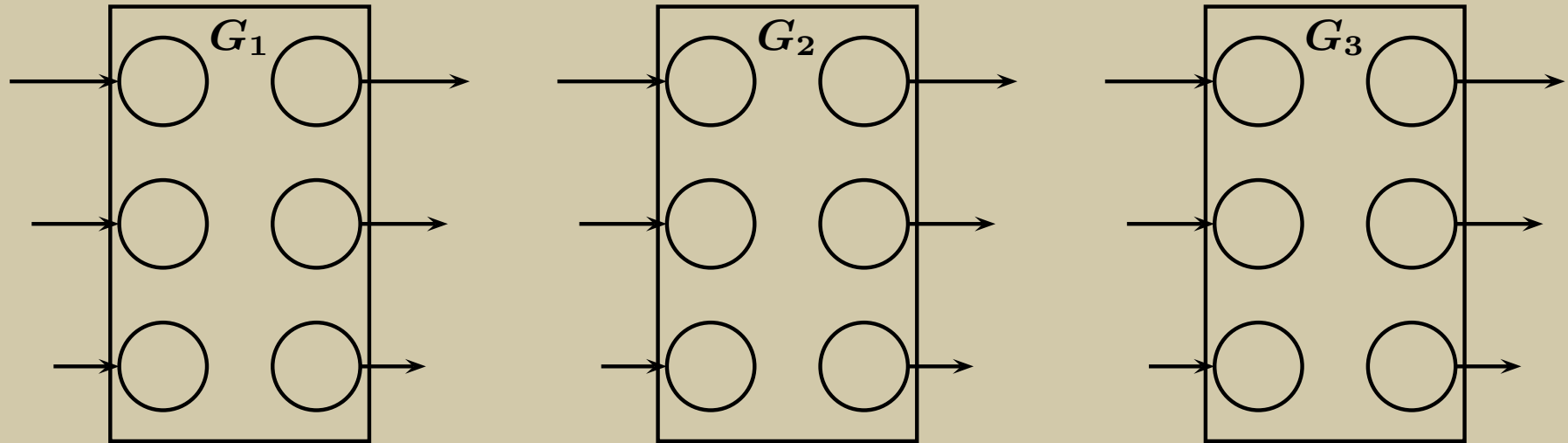
- Seien  $x_1, \dots, x_n$  die Variablen von  $\varphi$
- Der Graph  $G$  hat  $n + 6m$  Knoten:
  - Die Knoten  $v_1, \dots, v_n$  repräsentieren die Variablen von  $\varphi$
  - Die Teilgraphen  $G_1, \dots, G_m$  mit Knoten  $u_{ij}$  und  $u'_{ij}$ ,  $1 \leq i \leq m, 1 \leq j \leq 3$ , repräsentieren die Klauseln von  $\varphi$
- Jeder Knoten  $v_i$  hat 2 eingehende und 2 ausgehende Kanten
  - Intention: die obere ausgehende Kante entspricht dem Wahrheitswert 1
- Die Teilgraphen  $G_j$  haben je 3 eingehende und 3 ausgehende Kanten



# 3-SAT $\leq_p$ HAMILTONCYCLE (3/9)

## Beispiel

- Beispiel-Formel:  $\varphi = (x_1 \vee \neg x_3 \vee x_5) \wedge (\neg x_1 \vee x_5 \vee x_4) \wedge (x_1 \vee \neg x_2 \vee \neg x_5)$
- Beispiel-Graph  $G$ :



## 3-SAT $\leq_p$ HAMILTONCYCLE (4/9)

### Beweisskizze (Forts.)

- Sei  $i$  fest und seien  $K_{j_1}, \dots, K_{j_l}$  die Klauseln, in denen  $x_i$  *positiv* vorkommt, und zwar als  $L_{j_1}b_1, \dots, L_{j_l}b_l$ 
  - D.h.:  $x_i$  kommt in Klausel  $K_{j_t}$  an der  $b_t$ -ten Stelle vor, für  $t \leq l$
- Dann hat  $G$  Kanten
  - vom ersten Ausgang von Knoten  $v_i$  zum  $b_1$ -ten Eingang von  $G_{j_1}$ ,
  - vom  $b_t$ -ten Ausgang von  $G_{j_t}$  zum  $b_{t+1}$ -ten Eingang von  $G_{j_{t+1}}$ , für alle  $t < l$ , und
  - vom  $b_l$ -ten Ausgang von  $G_{j_l}$  zum ersten Eingang von  $v_{i+1}$  (für  $i = n$  zum ersten Eingang von  $v_1$ ).
- Wir nennen diese Kantenmenge den Literalweg zu  $x_i$

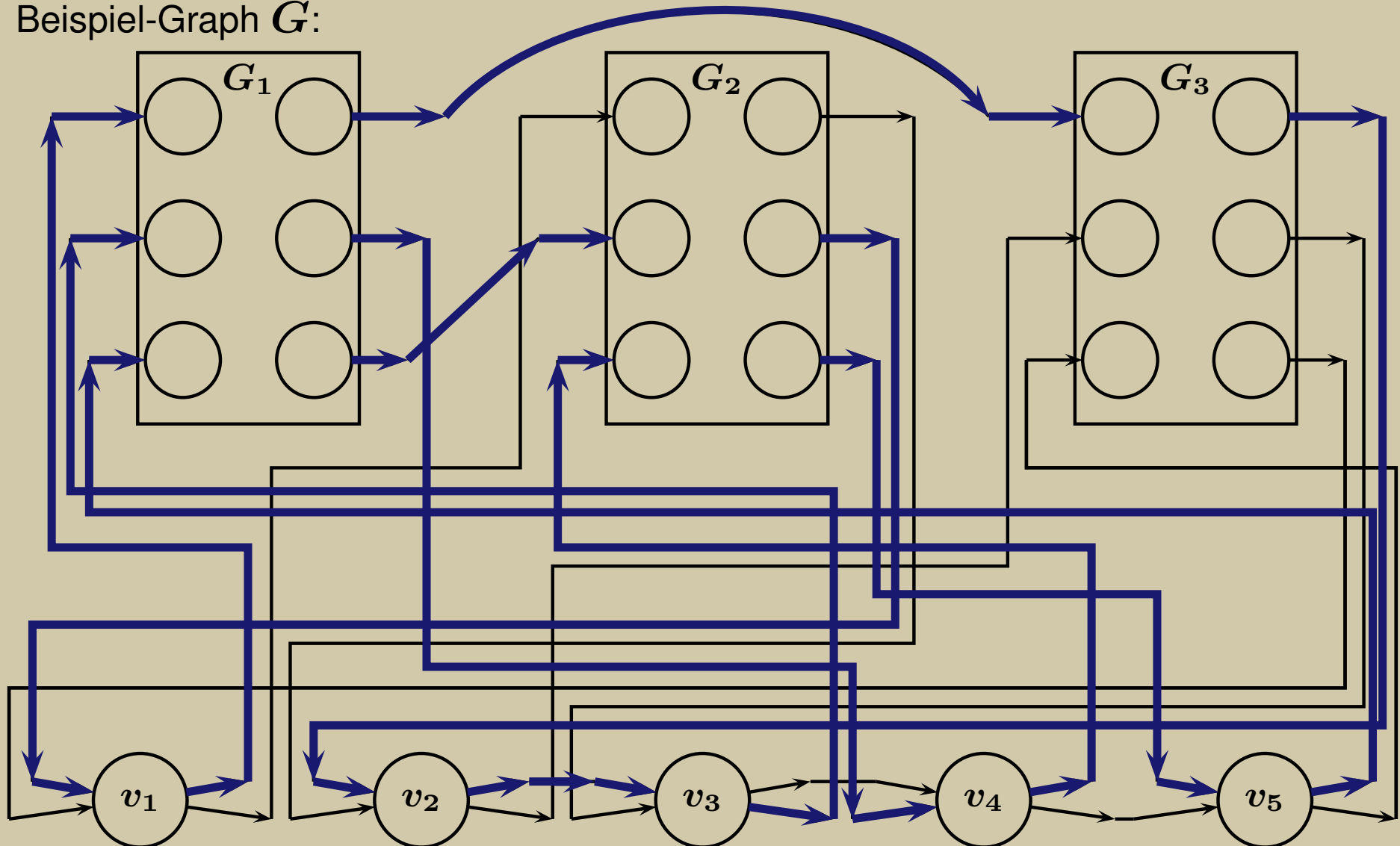
### Beweisskizze (Forts.)

- Analog gibt es einen Literalweg zu  $\neg x_i$ , der im unteren Ausgang von  $v_i$  beginnt und alle Teilgraphen  $G_j$  mit *negativen* Vorkommen von  $x_i$  durchläuft
- Für jede Variable hat  $G$  also zwei Literalwege
- Intention: wenn eine Wahrheitsbelegung ein Literal wahr macht, dann besucht der Literalweg des Literals die Klauselgraphen aller Klauseln, die durch das Literal wahr werden

# 3-SAT $\leq_p$ HAMILTONCYCLE (5/9)

## Beispiel

- Beispiel-Formel:  $\varphi = (x_1 \vee \neg x_3 \vee x_5) \wedge (\neg x_1 \vee x_5 \vee x_4) \wedge (x_1 \vee \neg x_2 \vee \neg x_5)$   
Belegung:  $\theta(x_1) = 1, \theta(x_2) = 1, \theta(x_3) = 0, \theta(x_4) = 1, \theta(x_5) = 1$
- Beispiel-Graph  $G$ :

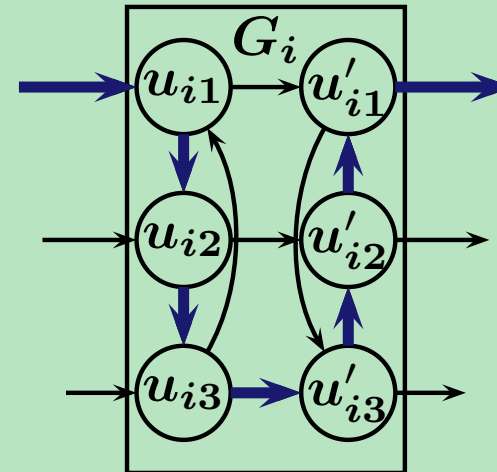


# 3-SAT $\leq_p$ HAMILTONCYCLE (6/9)

## Beweisskizze (Forts.)

- Konstruktion der Teilgraphen  $G_i$ :
- Intention: die Knoten von  $G_i$  lassen sich auf jede nicht-leere Menge von Literalwegen durch  $G_i$  verteilen  
 ☞ egal, ob es ein, zwei oder drei sind
- $u_{i1}, u_{i2}, u_{i3}$ : Eingangsknoten, mit jeweils einer eingehenden Kante
- $u'_{i1}, u'_{i2}, u'_{i3}$ : Ausgangsknoten, mit je einer ausgehenden Kante
- $G_i$  hat folgende innere Kanten:
  - $(u_{i1}, u'_{i1}), (u_{i2}, u'_{i2}), (u_{i3}, u'_{i3})$
  - $(u_{i1}, u_{i2}), (u_{i2}, u_{i3}), (u_{i3}, u_{i1})$
  - $(u'_{i2}, u'_{i1}), (u'_{i3}, u'_{i2}), (u'_{i1}, u'_{i3})$
- Die Kanten zwischen den Knoten  $u'_{ij}$  sind gegenläufig zu den Kanten zwischen den Knoten  $u_{ij}$ !

## Beweisskizze (Forts.)



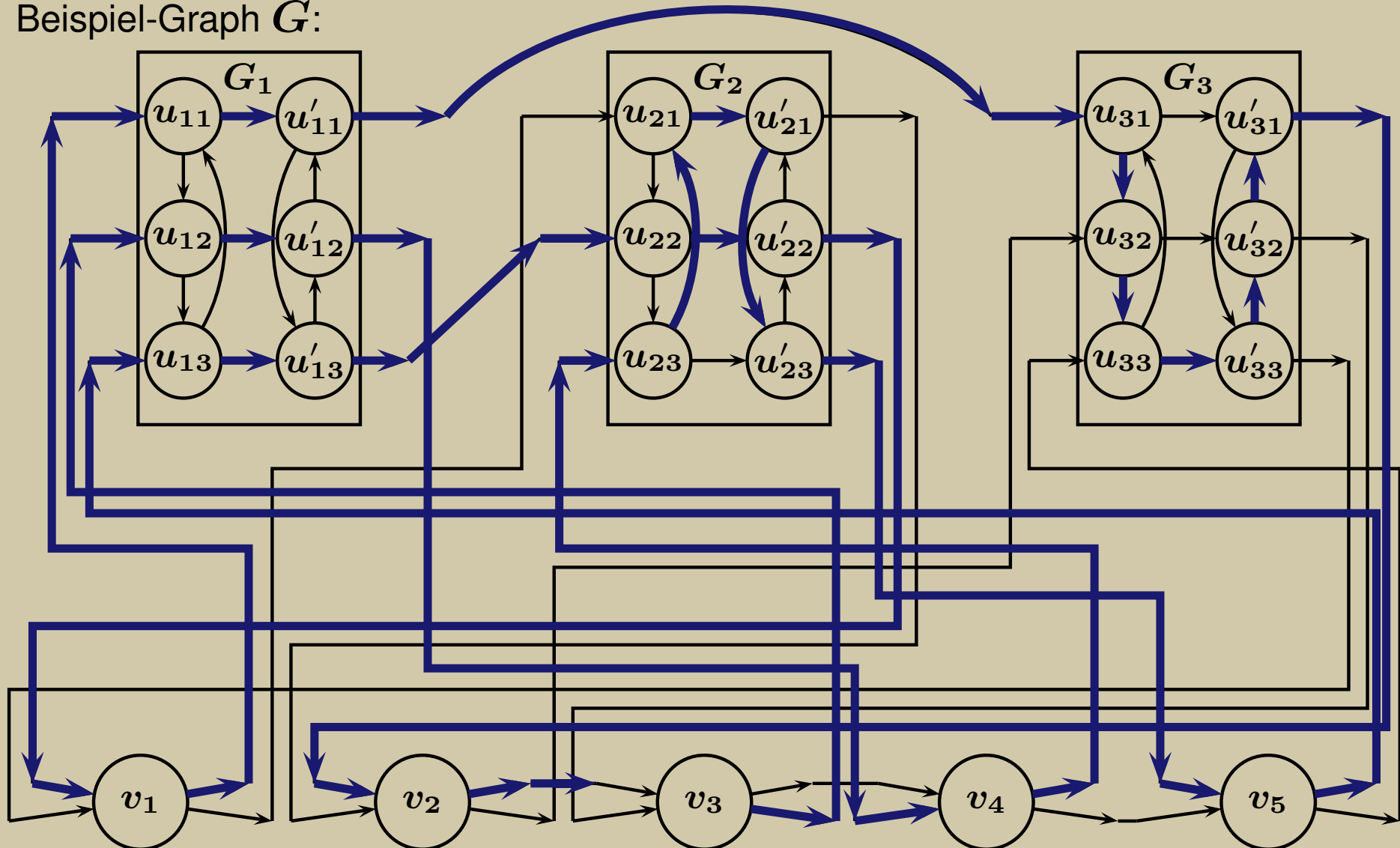
- Es gilt: für jede nicht-leere Menge  $S$  von Eingangskanten von  $G_i$  gibt es eine Menge von Wegen innerhalb  $G_i$ , die
  - $G_i$  in der Menge  $S$  betritt,
  - alle Knoten aus  $G_i$  genau einmal besuchen,
  - und  $G_i$  in der zu  $S$  korrespondierenden Kantenmenge verlässt
- Und: jeder Hamiltonpfad, der  $G_i$  in  $u_{ij}$  betritt, muss  $G_i$  auch in  $u'_{ij}$  verlassen

- $f(\varphi) \stackrel{\text{def}}{=} G$

# 3-SAT $\leq_p$ HAMILTONCYCLE (7/9)

## Beispiel (Forts.)

- Beispiel-Formel:  $\varphi = (x_1 \vee \neg x_3 \vee x_5) \wedge (\neg x_1 \vee x_5 \vee x_4) \wedge (x_1 \vee \neg x_2 \vee \neg x_5)$   
 Belegung:  $\theta(x_1) = 1, \theta(x_2) = 1, \theta(x_3) = 0, \theta(x_4) = 1, \theta(x_5) = 1$
- Beispiel-Graph  $G$ :



## 3-SAT $\leq_p$ HAMILTONCYCLE (8/9)

### Beweisskizze (Forts.)

(2)  $f$  ist in polynomieller Zeit berechenbar

(3)  $\varphi$  erfüllbar  $\Rightarrow G$  hat gerichteten Hamilton-Kreis

- Sei  $\theta$  erfüllende Belegung für  $\varphi$
  - Zur Konstruktion des Hamiltonkreises  $H$  wird zunächst für jedes Literal  $L$  mit  $\theta(L) = 1$  der Literalweg zu  $L$  gewählt
  - Da  $\theta$  erfüllend ist, wird jedes  $G_i$  durch mindestens einen dieser Literalwege besucht
  - Nach Konstruktion der  $G_i$  können Innenkanten so gewählt werden, dass alle Knoten genau einmal erreicht werden (und der Weg ist zusammenhängend)
- ➡  $H$  ist Hamilton-Kreis

## 3-SAT $\leq_p$ HAMILTONCYCLE (9/9)

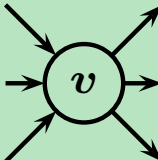
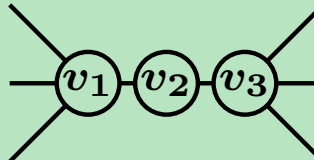
### Beweisskizze (Forts.)

(4)  $G$  hat gerichteten Hamilton-Kreis  $\Rightarrow \varphi$  ist erfüllbar

- Sei  $H$  ein Hamiltonkreis
- Falls die obere von  $v_i$  ausgehende Kante in  $H$  ist, setze  $\theta(x_i) \stackrel{\text{def}}{=} 1$  sonst  $\theta(x_i) \stackrel{\text{def}}{=} 0$
- Da jeder Klauselgraph durchlaufen wird, muss jede Klausel durch mindestens ein Literal wahr gemacht werden

➡  $\varphi$  erfüllbar

- Noch zu zeigen: GHAMILTONCYCLE  $\leq_p$  HAMILTONCYCLE

- Ersetze dazu  durch 

- Dann gilt:  
Der gerichtete Graph hat einen Hamilton-Kreis  $\iff$   
der ungerichtete Graph hat einen Hamilton-Kreis

# HAMILTONCYCLE $\leq_p$ TSP

## Satz 19.9

HAMILTONCYCLE  $\leq_p$  TSP

### Beweisskizze

(1) Sei  $G = (V, E)$  mit Knotenmenge

$$V = \{v_1, \dots, v_n\}$$

- Sei  $f(G) \stackrel{\text{def}}{=} (s_1, \dots, s_n, d, n)$ , mit

$$- d(s_i, s_j) \stackrel{\text{def}}{=} \begin{cases} 1 & \text{für } (v_i, v_j) \in E \\ 2 & \text{für } (v_i, v_j) \notin E \end{cases}$$

(2) ✓

- Es ist leicht zu sehen:

- Jede TSP-Reise hat mindestens die Gesamtentfernung  $n$
- Jeder Hamiltonkreis von  $G$  entspricht einer TSP-Reise der Gesamtstrecke  $n$  und umgekehrt

➡ (3), (4)



# Inhalt

19.1 Der Satz von Cook

19.2 Polynomielle Reduktionen

19.3 3-SAT

19.4 Das Cliquen-Problem

19.5 3-Färbbarkeit

19.6 Hamiltonkreise und TSP

▷ **19.7 Teilsummen und das Rucksack-Problem**

## 3-SAT $\leq_p$ SUBSETSUM $\leq_p$ KNAPSACK (1/6)

- Für den Nachweis, dass KNAPSACK **NP**-schwierig ist, verwenden wir das folgende Problem als Zwischenschritt

### Definition (SUBSETSUM)

**Gegeben:** Menge  $S$  natürlicher Zahlen und eine Zielzahl  $k$

**Frage:** Gibt es  $T \subseteq S$  mit  $\sum_{a \in T} a = k$ ?

- Im Gegensatz zu den bisherigen Reduktionen wird in der folgenden Reduktion die Kodierung von Informationen in Zahlen eine Rolle spielen

## 3-SAT $\leq_p$ SUBSETSUM $\leq_p$ KNAPSACK (2/6)

Proposition 19.10

3-SAT  $\leq_p$  SUBSETSUM

Beweisskizze

(1) Sei  $\varphi = K_1 \wedge \dots \wedge K_m$ , mit Variablen aus  $\{x_1, \dots, x_n\}$

- Wir „kodieren“  $\varphi$  durch  $(m + n)$ -stellige Dezimalzahlen:

- Die ersten  $m$  Stellen entsprechen den  $m$  Klauseln

☞ vorderer Teil

- Die letzten  $n$  Stellen entsprechen den  $n$  Variablen

☞ hinterer Teil

- $k \stackrel{\text{def}}{=} \underbrace{44 \dots 44}_m \underbrace{11 \dots 11}_n$

- Intention:  $\varphi$  erfüllbar  $\iff$

es gibt eine Menge  $T$  mit  $\sum_{a \in T} a = k$

- Für jedes Literal gibt es in  $S$  eine Zahl:  $a_i$  für  $x_i$  und  $b_i$  für  $\neg x_i$
- Intention:  $\theta(x_i) = 1$  entspricht der Wahl von  $a_i$ ,  
 $\theta(x_i) = 0$  entspricht der Wahl von  $b_i$

# 3-SAT $\leq_p$ SUBSETSUM $\leq_p$ KNAPSACK (3/6)

## Beweisskizze (Forts.)

- $a_i, b_i$  haben eine 1 an der  $i$ -ten Position im hinteren Teil (und an allen anderen hinteren Positionen eine 0)
- An der  $j$ -ten Stelle des vorderen Teils hat  $a_i$  die Ziffer  $\ell \stackrel{\text{def}}{\Leftrightarrow} x_i$  kommt  $\ell$ -mal in  $K_j$  vor  
☞ analog für  $b_i$  und  $\neg x_i$

- Jede Wahrheitsbelegung  $\theta$  korrespondiert also zu einer Zahlenmenge, deren Summe
  - im hinteren Teil an jeder Position eine 1, und
  - im vorderen Teil je Klausel-Position die Anzahl ihrer wahren Literale hat

➡  $\theta \models \varphi \iff$  die Summe hat im vorderen Teil an jeder Position eine Zahl zwischen 1 und 3

- Damit im vorderen Teil überall eine 4 (und damit genau  $k$ ) erreicht werden kann, gibt es in  $S$  je Klausel von  $\varphi$  zwei weitere Zahlen:
  - $y_j$ : vorne an Position  $j$  eine 1, sonst 0
  - $z_j$ : vorne an Position  $j$  eine 2, sonst 0

## Beispiel

- Beispiel-Formel
 
$$\varphi = (x_1 \vee \neg x_3 \vee x_5) \wedge (\neg x_1 \vee x_5 \vee x_4) \wedge (x_1 \vee \neg x_2 \vee \neg x_5)$$
- $k = 444\ 11111$

$a_1 = 101\ 10000$	$b_1 = 010\ 10000$
$a_2 = 000\ 01000$	$b_2 = 001\ 01000$
$a_3 = 000\ 00100$	$b_3 = 100\ 00100$
$a_4 = 010\ 00010$	$b_4 = 000\ 00010$
$a_5 = 110\ 00001$	$b_5 = 001\ 00001$

$y_1 = 100\ 00000$
$y_2 = 010\ 00000$
$y_3 = 001\ 00000$
$z_1 = 200\ 00000$
$z_2 = 020\ 00000$
$z_3 = 002\ 00000$

## 3-SAT $\leq_p$ SUBSETSUM $\leq_p$ KNAPSACK (4/6)

### Vervollständigung des Beispiels

- Beispiel-Formel  $\varphi = (x_1 \vee \neg x_3 \vee x_5) \wedge (\neg x_1 \vee x_5 \vee x_4) \wedge (x_1 \vee \neg x_2 \vee \neg x_5)$

- Zahlen:

$a_1 = 101\ 10000$	$b_1 = 010\ 10000$	$y_1 = 100\ 00000$
$a_2 = 000\ 01000$	$b_2 = 001\ 01000$	$y_2 = 010\ 00000$
$a_3 = 000\ 00100$	$b_3 = 100\ 00100$	$y_3 = 001\ 00000$
$a_4 = 010\ 00010$	$b_4 = 000\ 00010$	$z_1 = 200\ 00000$
$a_5 = 110\ 00001$	$b_5 = 001\ 00001$	$z_2 = 020\ 00000$
		$z_3 = 002\ 00000$

- Die Wahrheitsbelegung
  - $\theta(x_1) = \theta(x_2) = \theta(x_4) = \theta(x_5) = 1$
  - $\theta(x_3) = 0$

entspricht der Auswahl  $a_1, a_2, b_3, a_4, a_5$

- Summe: **321 11111**
- Wähle zusätzlich:  $y_1, z_2, y_3, z_3$
- Gesamtsumme: **444 11111**

## 3-SAT $\leq_p$ SUBSETSUM $\leq_p$ KNAPSACK (5/6)

### Beweisskizze (Forts.)

(1)  $f(\varphi) \stackrel{\text{def}}{=} (S, k)$ , wobei  $S$  die Menge der Zahlen der  $a_i, b_i, y_j, z_j$  ist

(2) ✓

(3)  $\varphi$  ist erfüllbar  $\Rightarrow f(\varphi)$  hat eine Lösung

- Sei  $\theta$  eine Belegung, die  $\varphi$  wahr macht
- Falls  $\theta(x_i) = 1$ : wähle  $a_i$
- Falls  $\theta(x_i) = 0$ : wähle  $b_i$
- ➔ Die Summe der Zahlen ist im ersten Teil an jeder Position mindestens 1 und höchstens 3, im zweiten Teil genau 1
- Deshalb: falls in der bisherigen Summe im ersten Teil an der  $i$ -ten Stelle
  - eine 3 ist: wähle  $y_i$
  - eine 2 ist: wähle  $z_i$
  - eine 1 ist: wähle  $y_i$  und  $z_i$
- ➔ die Gesamtsumme ergibt genau  $k$

### Beweisskizze (Forts.)

(4)  $f(\varphi)$  hat eine Lösung  $\Rightarrow \varphi$  ist erfüllbar

- Sei eine Menge  $T \subseteq S$  mit Summe  $k$  gewählt
- ➔ Für jedes  $i$  ist entweder  $a_i$  oder  $b_i$  gewählt

➔ Definiere eine Variablenbelegung wie folgt:

$$\theta(x_i) \stackrel{\text{def}}{=} \begin{cases} 1 & \text{falls } a_i \text{ gewählt ist} \\ 0 & \text{falls } b_i \text{ gewählt ist} \end{cases}$$

- Klar: die Summe der ausgewählten  $a_i$  und  $b_i$  hat an jeder vorderen Stelle mindestens 1
- ➔ Die Variablenbelegung macht jede einzelne Klausel und damit  $\varphi$  wahr

## 3-SAT $\leq_p$ SUBSETSUM $\leq_p$ KNAPSACK (6/6)

### Proposition 19.11

SUBSETSUM  $\leq_p$  KNAPSACK

### Beweisskizze

- Sei  $S$  eine Menge von Zahlen und  $k$  eine Zielzahl

- (1) Sei  $f(S, k)$  die Eingabe für KNAPSACK mit
- je einem Gegenstand mit Gewicht und Wert  $a$ ,  
für jede Zahl  $a \in S$ , und
  - Gewichts- und Wertschranke  $k$

- Es ist leicht zu sehen, dass
- (2)  $f$  in polynomieller Zeit berechnet werden kann,  
und
- (3,4)  $(S, k) \in \text{SUBSETSUM}$  genau dann gilt, wenn  
 $f(S, k) \in \text{KNAPSACK}$

# Gesamtergebnis

- Da wir für alle in diesem Kapitel betrachteten Probleme schon gezeigt haben, dass sie in **NP** sind, folgt aus den in diesem Kapitel gezeigten Resultaten der folgende Satz

19.12

- Die folgenden Probleme sind **NP**-vollständig:
  - 3-SAT
  - 3-COL
  - CLIQUE
  - HAMILTONCYCLE
  - TSP
  - SUBSETSUM
  - KNAPSACK



# Zusammenfassung

- Es gibt Tausende von **NP**-vollständigen Problemen
- Das erste **NP**-vollständige Problem, SAT, haben wir durch den Satz von Cook gewonnen
- **NP**-Vollständigkeitsbeweise verwenden zumeist polynomielle Reduktionen **von** anderen, schon als **NP**-vollständig bekannten, Problemen
- Solche Reduktionsbeweise lassen sich in einer kanonischen Struktur darstellen

# Literaturhinweise

**Satz von Cook:** Stephen A. Cook. The complexity of theorem-proving procedures. In *STOC*, pages 151–158, 1971

- Enthält viele weitere „klassische“ **NP**-vollständige Probleme

**Andere NP-vollständige Probleme** R.M. Karp. Reducibility among combinatorial problems. In R.E. Miller and J.W. Thatcher, editors, *Complexity of Computer Computations*. Plenum, New York, 1972

**Gerade Pfade:** A. S. Lapauagh and C. H. Papadimitriou. The even-path problem for graphs and digraphs. *Networks*, 14:507–513, 1984

- Die Arbeit zeigt, dass es ein **NP**-vollständiges Problem ist, zu überprüfen, ob es einen Weg gerader Länge zwischen zwei Knoten eines gerichteten Graphen gibt